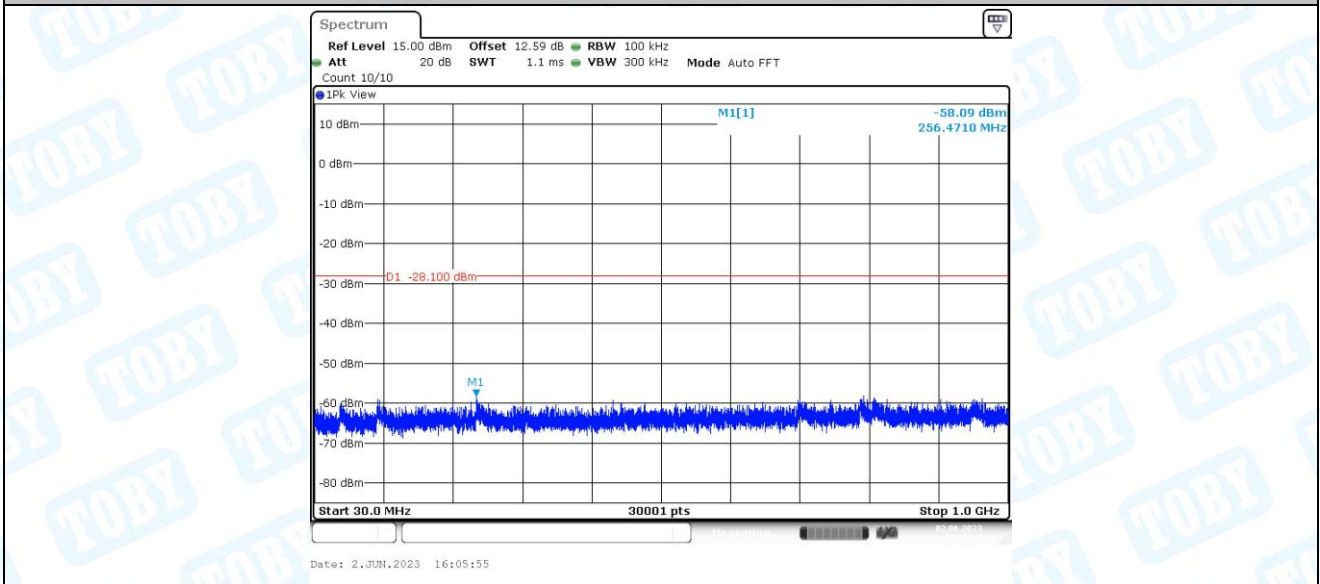
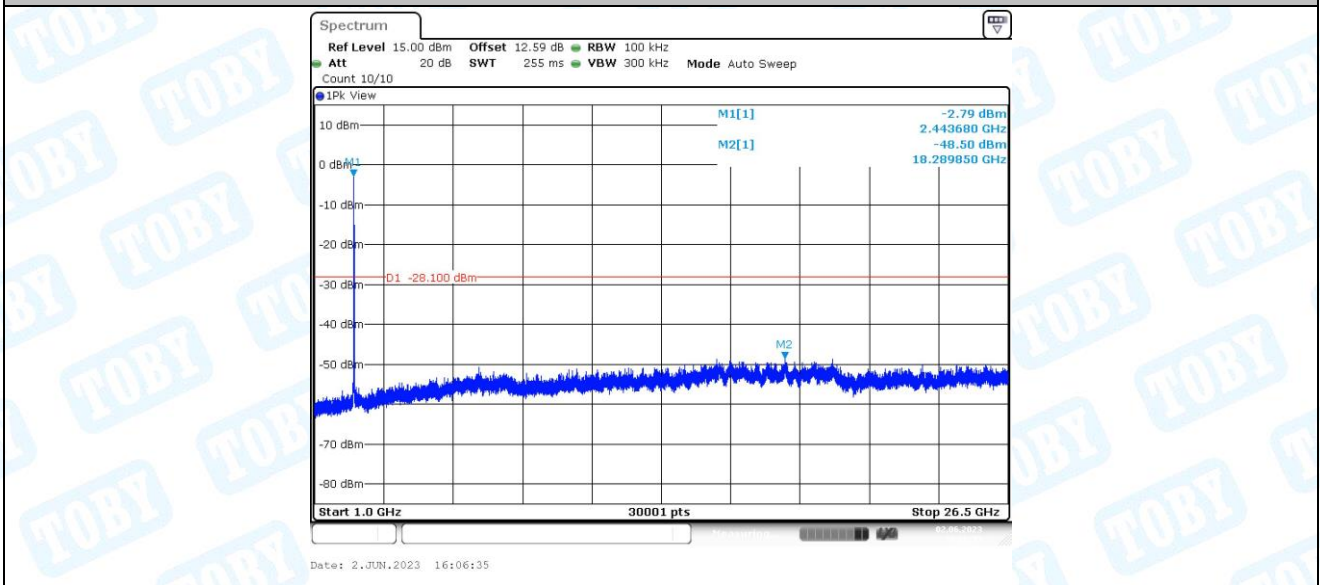


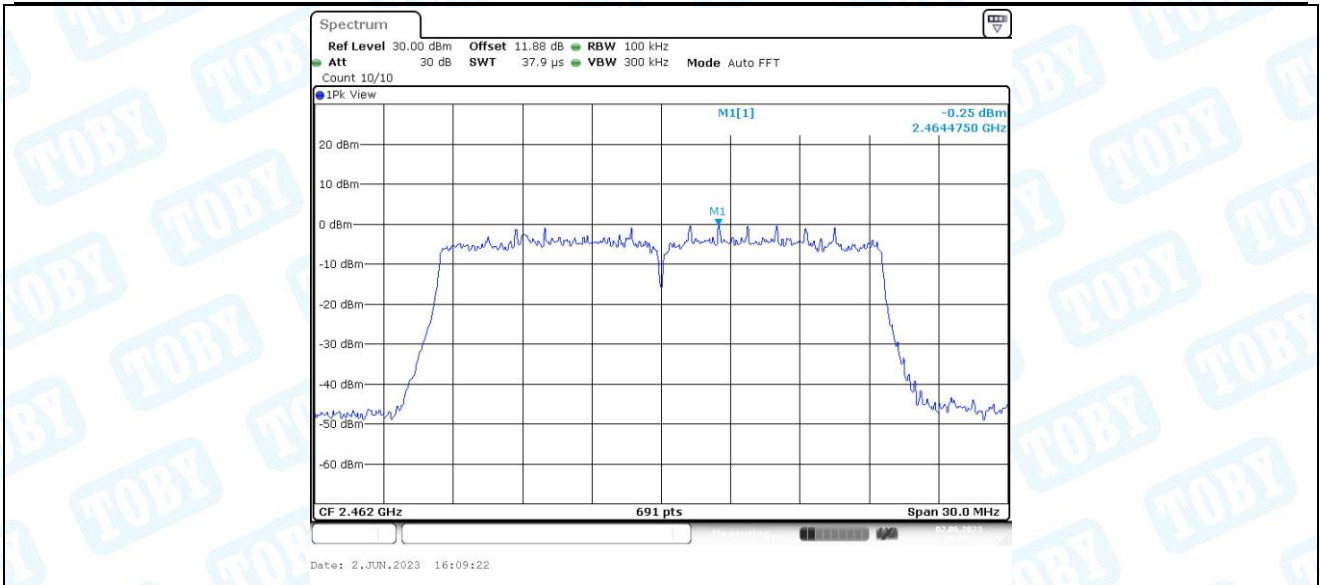
11AX20MIMO_Ant2_2437_0~Reference



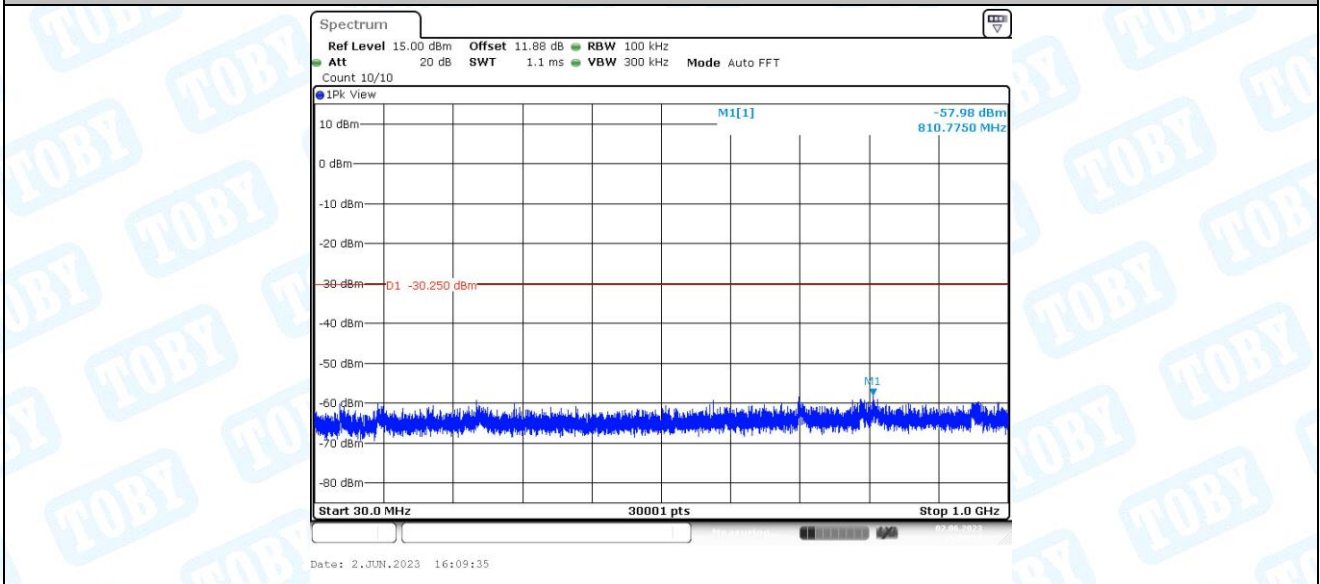
11AX20MIMO_Ant2_2437_30~1000



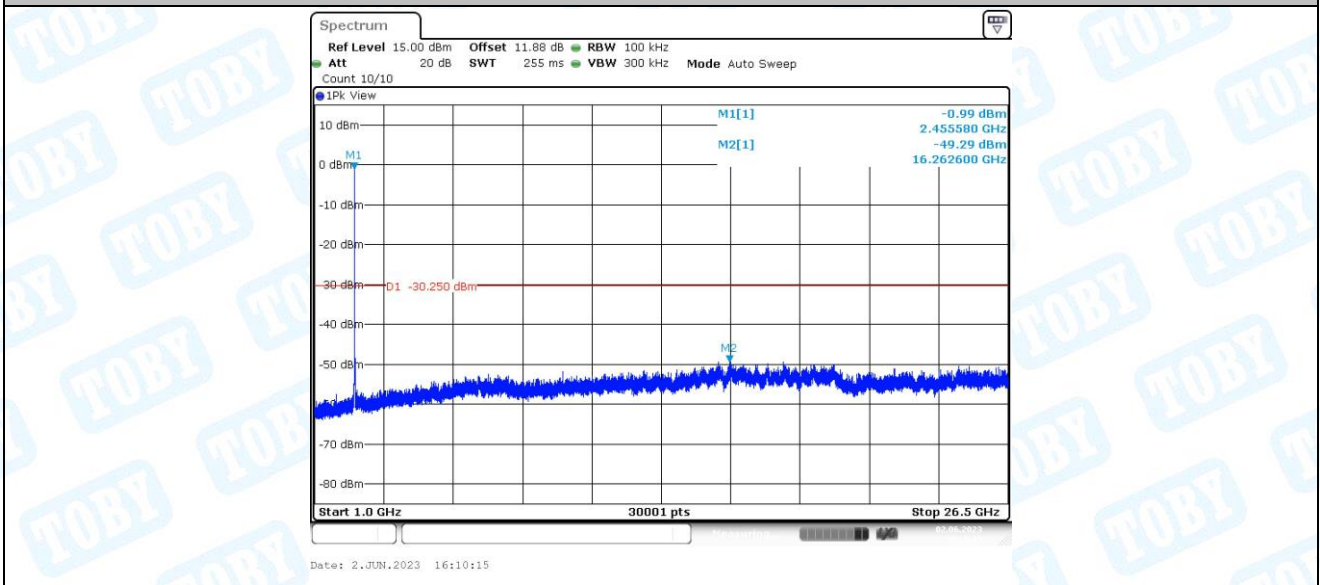
11AX20MIMO_Ant2_2437_1000~26500



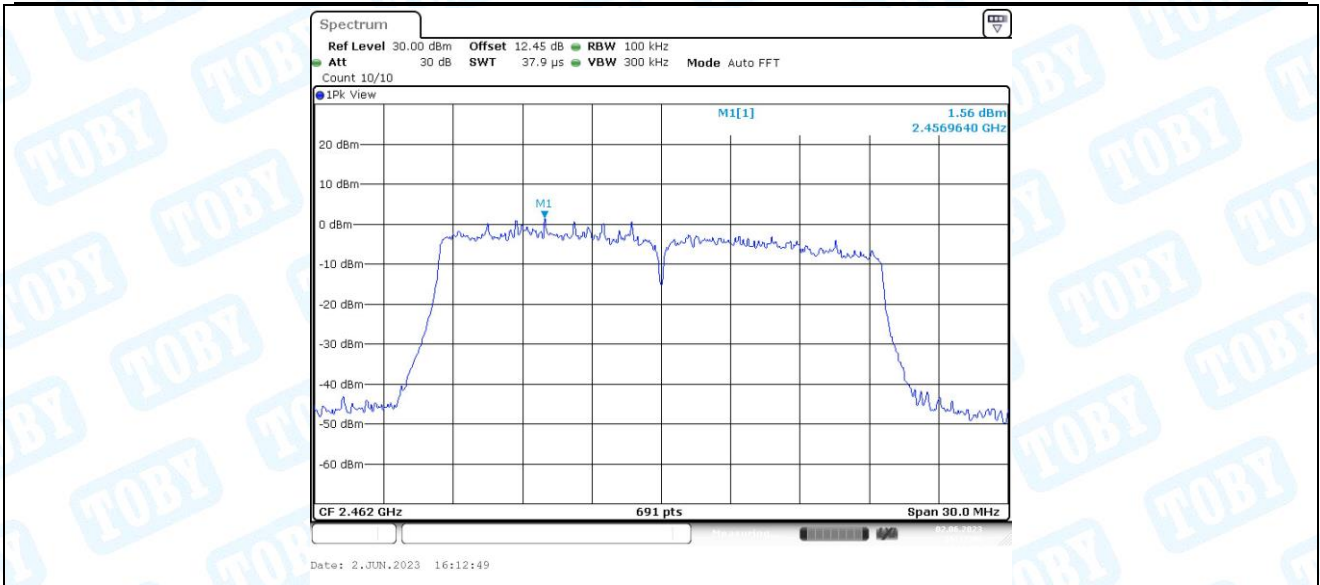
11AX20MIMO_Ant1_2462_0~Reference



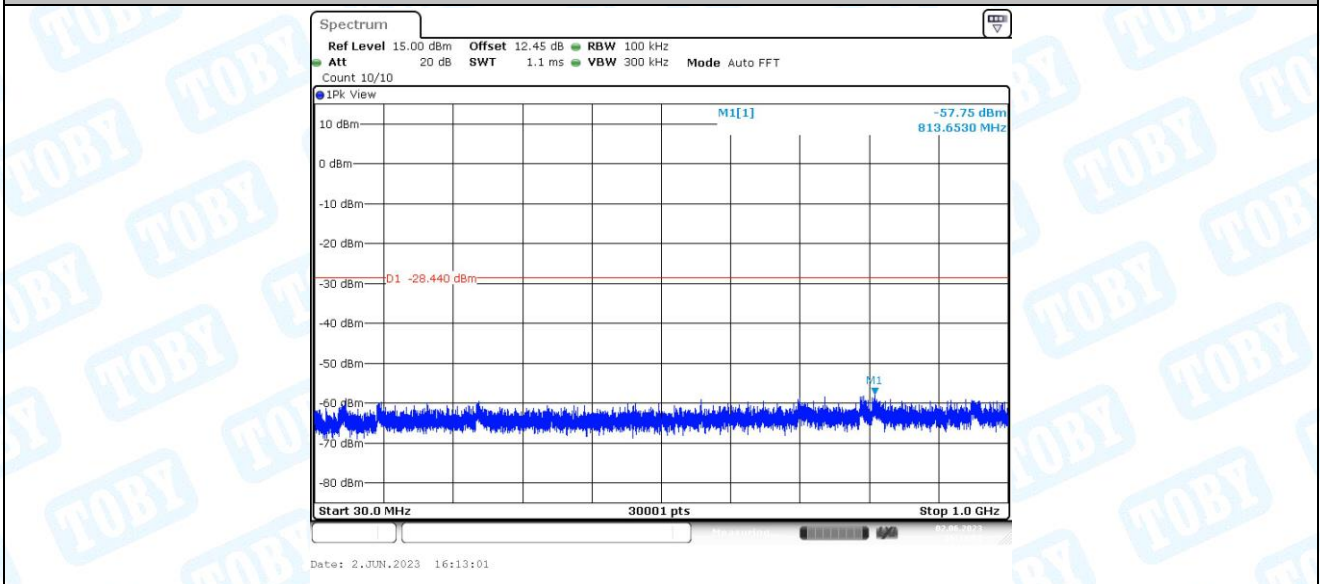
11AX20MIMO_Ant1_2462_30~1000



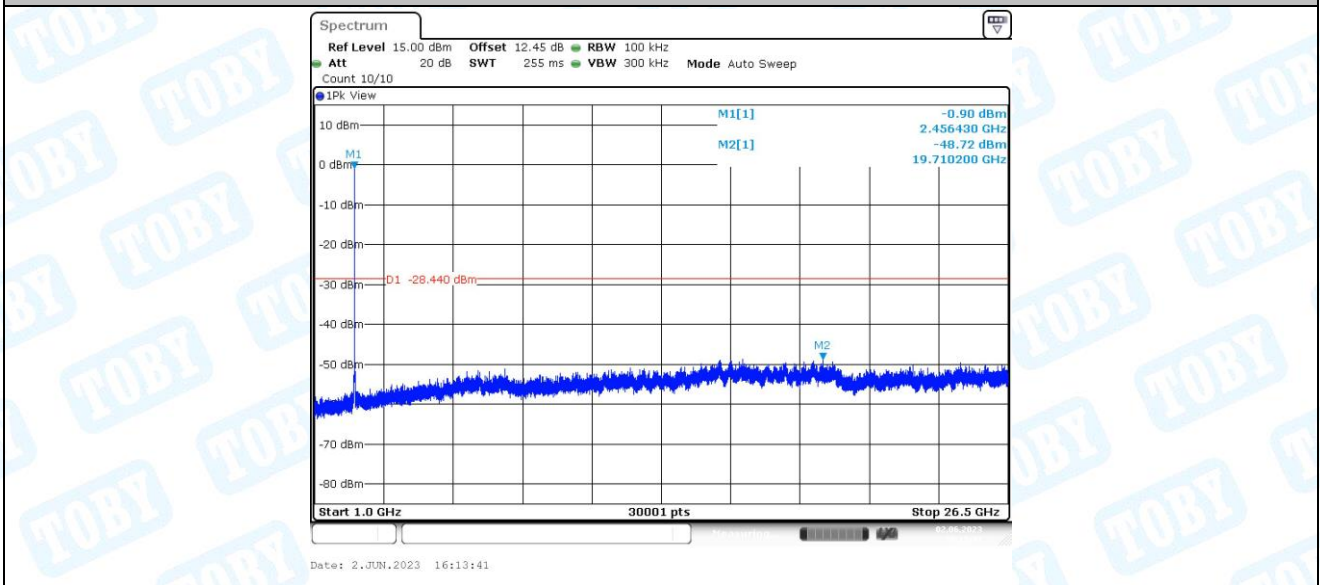
11AX20MIMO_Ant1_2462_1000~26500



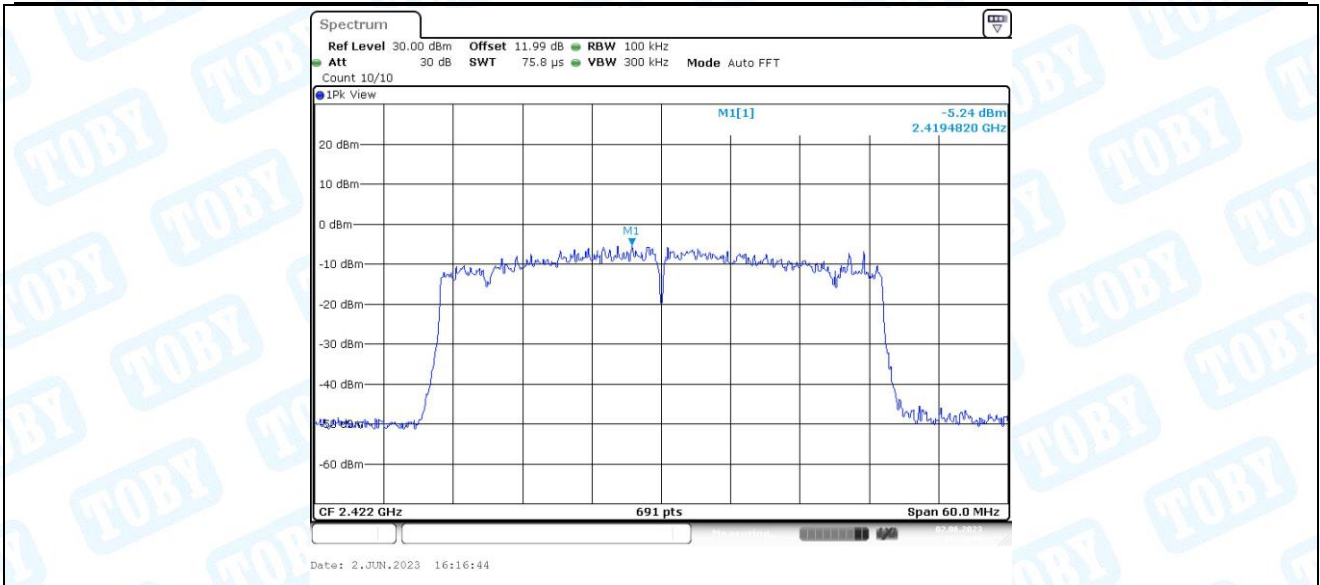
11AX20MIMO_Ant2_2462_0~Reference



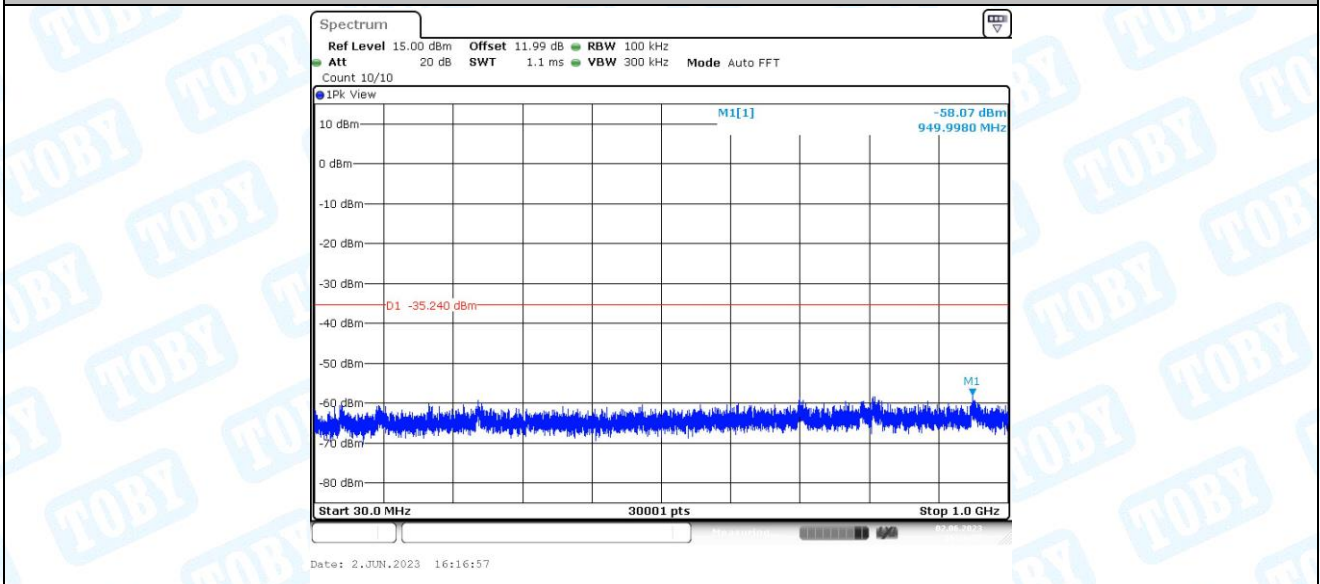
11AX20MIMO_Ant2_2462_30~1000



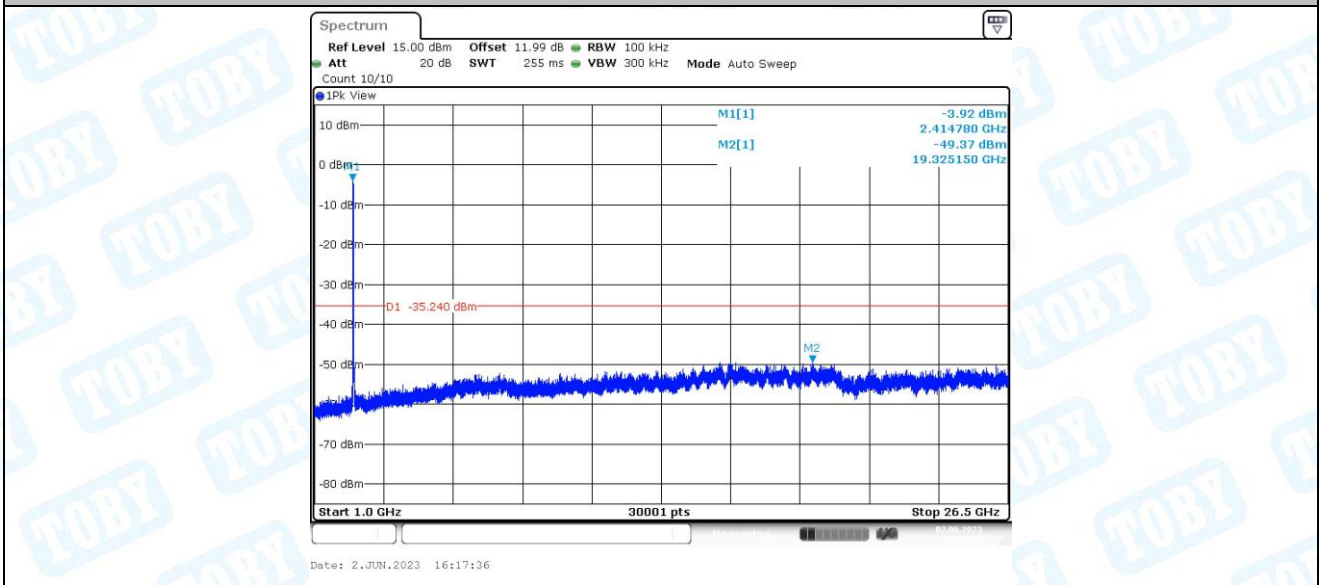
11AX20MIMO_Ant2_2462_1000~26500



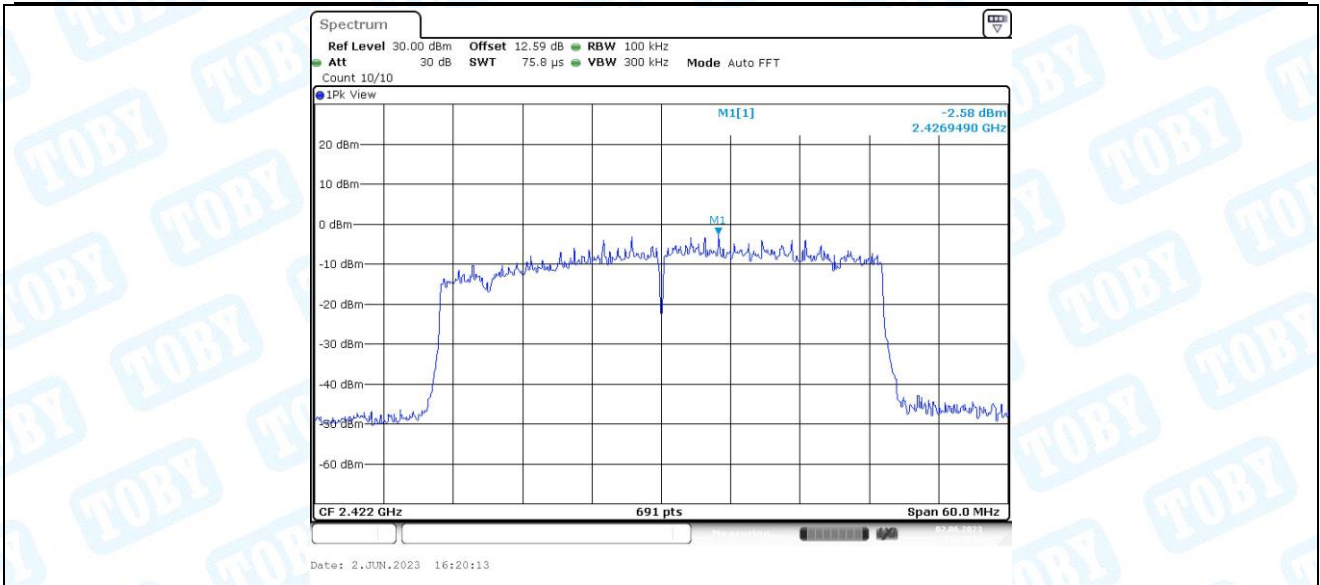
11AX40MIMO_Ant1_2422_0~Reference



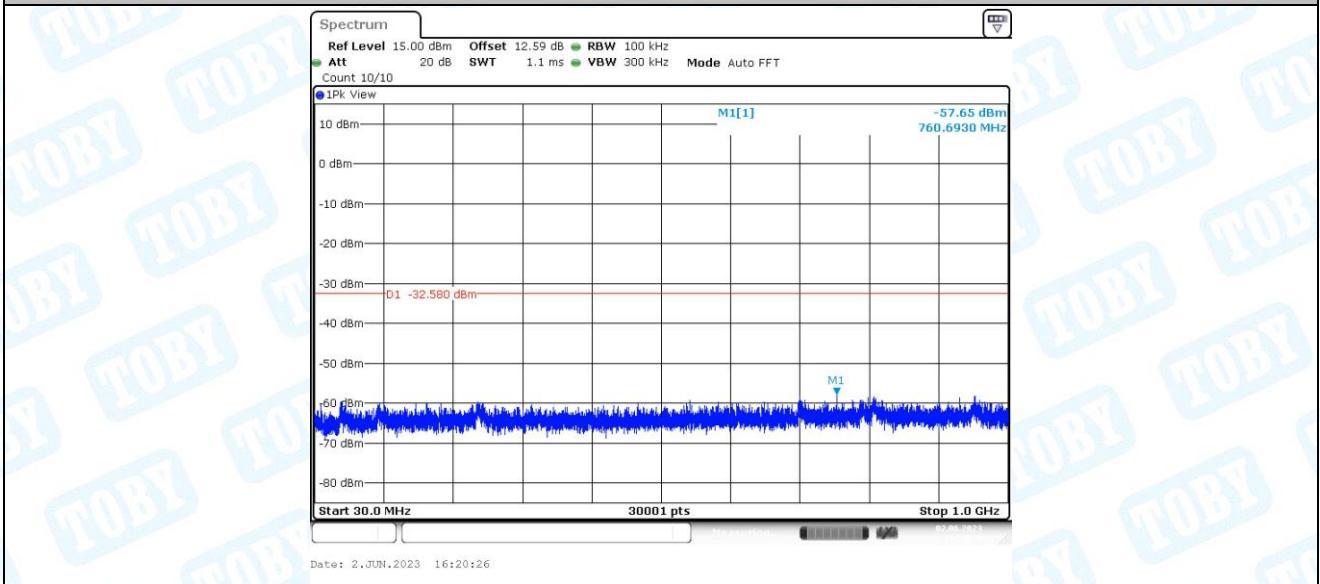
11AX40MIMO_Ant1_2422_30~1000



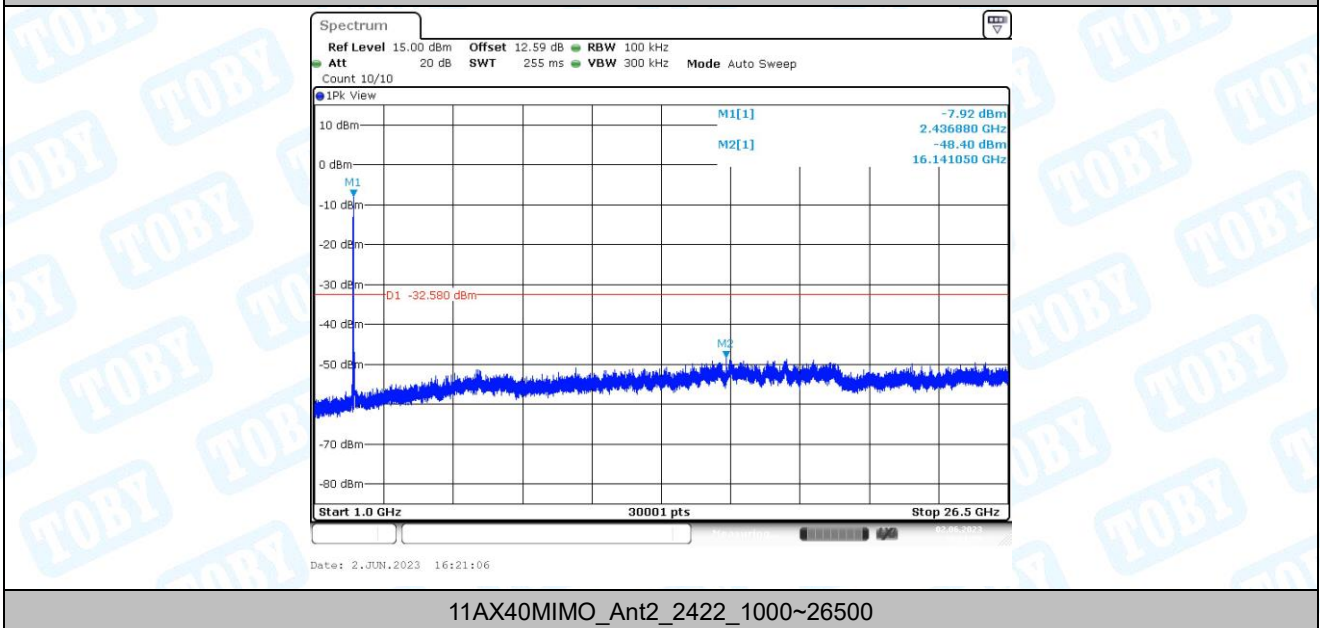
11AX40MIMO_Ant1_2422_1000~26500



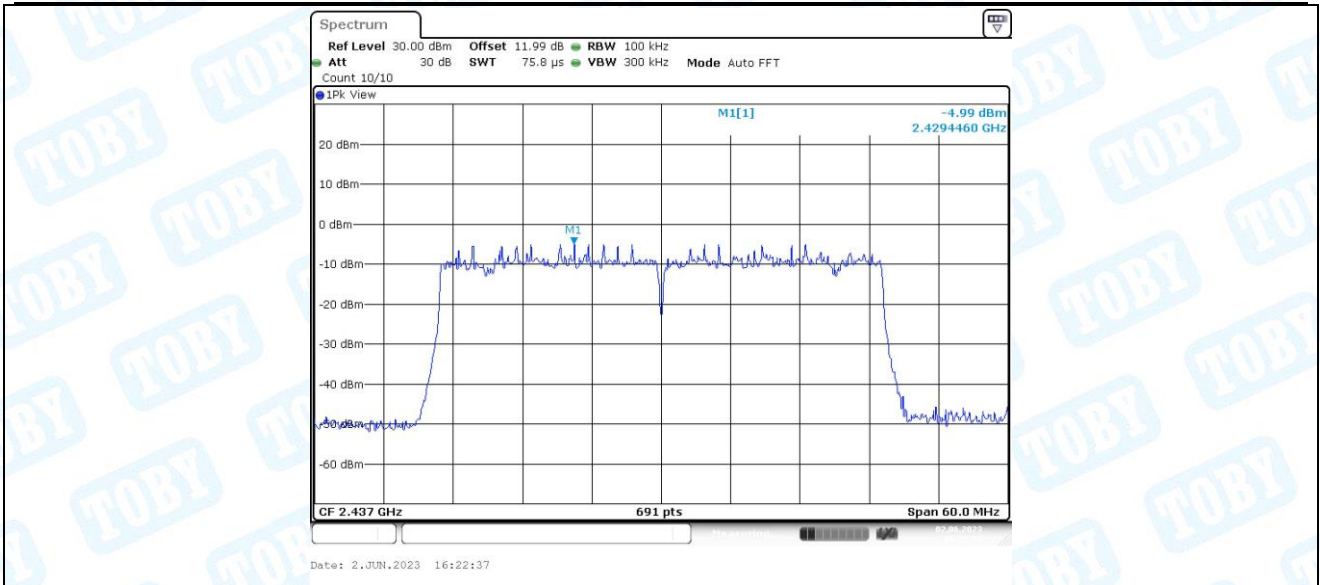
11AX40MIMO_Ant2_2422_0~Reference



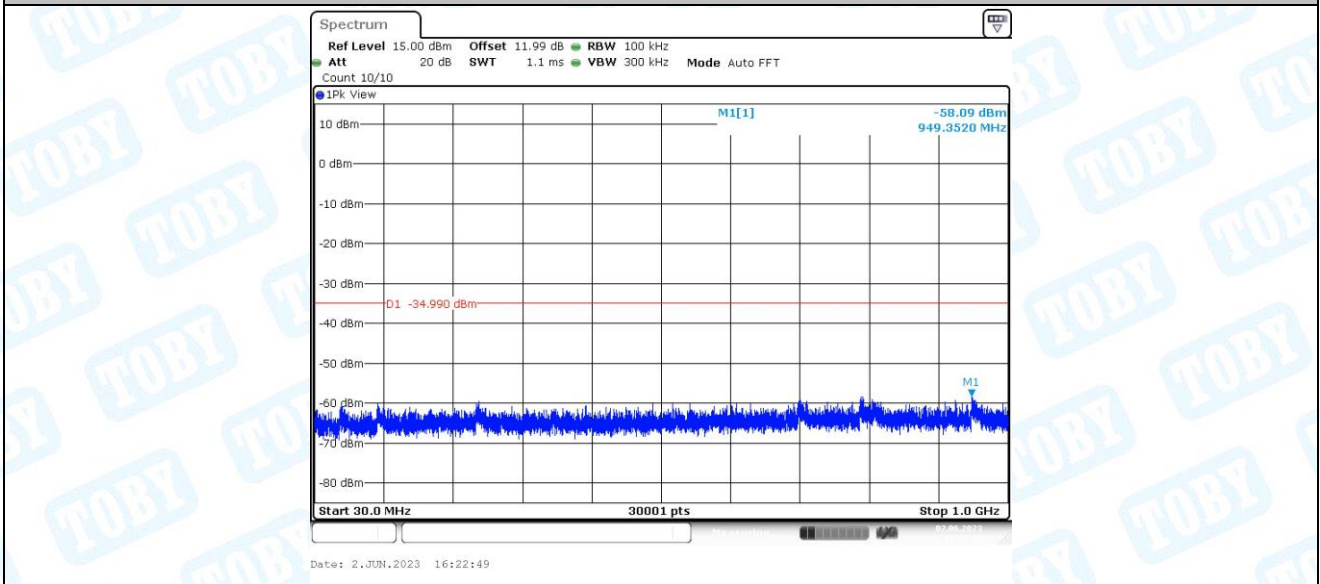
11AX40MIMO_Ant2_2422_30~1000



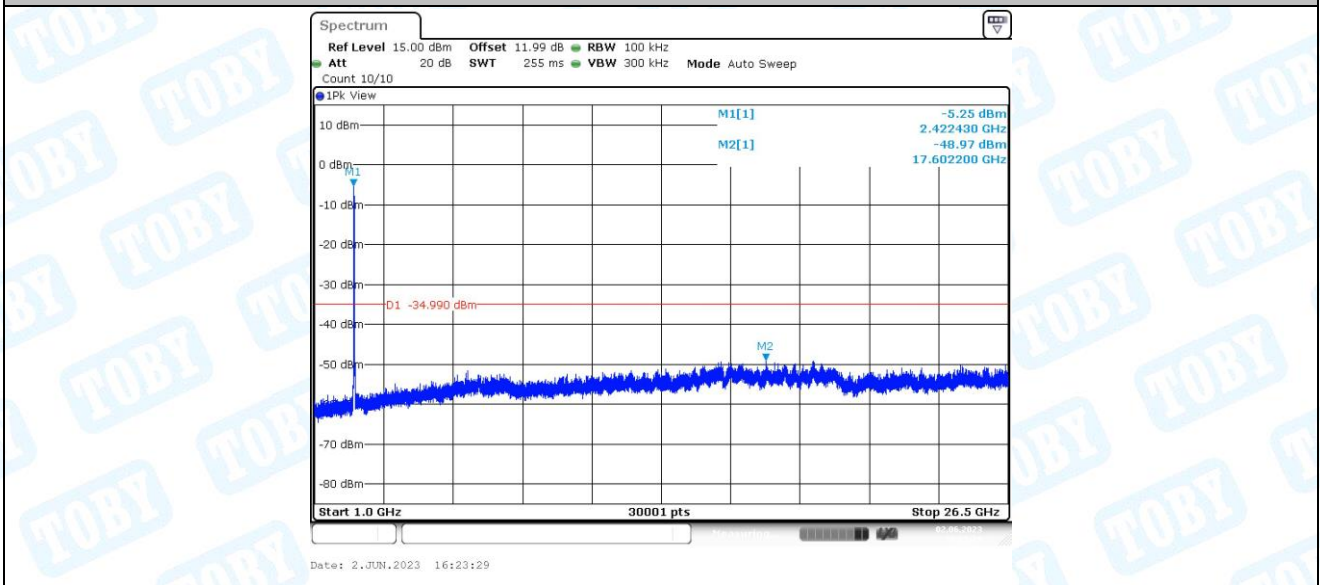
11AX40MIMO_Ant2_2422_1000~26500



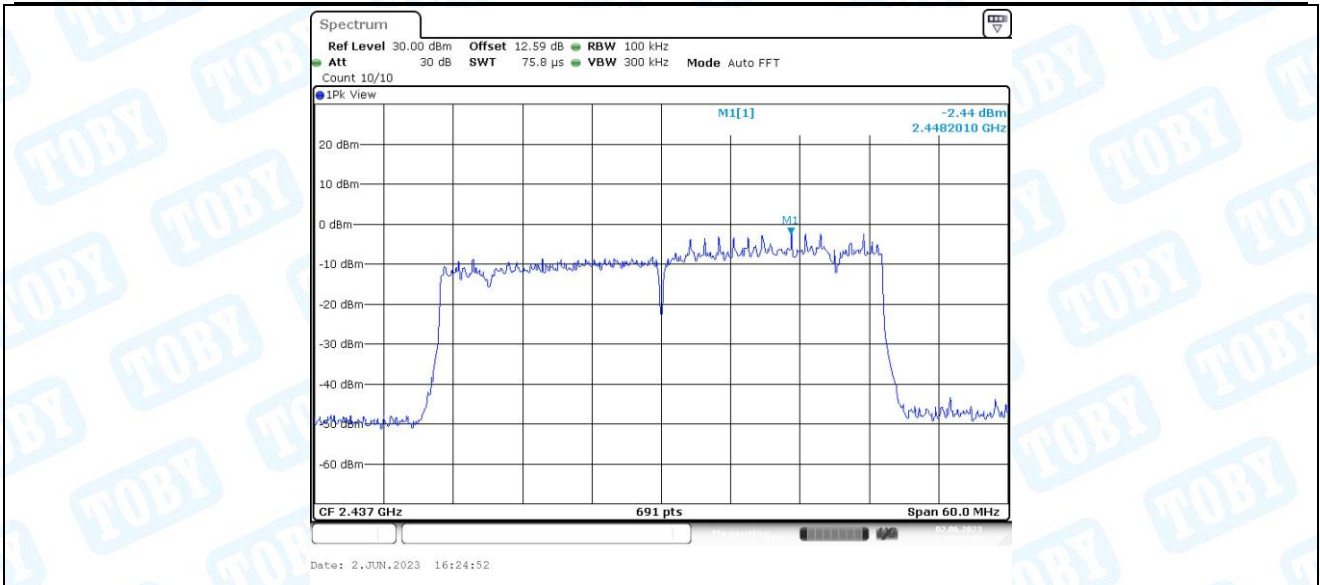
11AX40MIMO_Ant1_2437_0~Reference



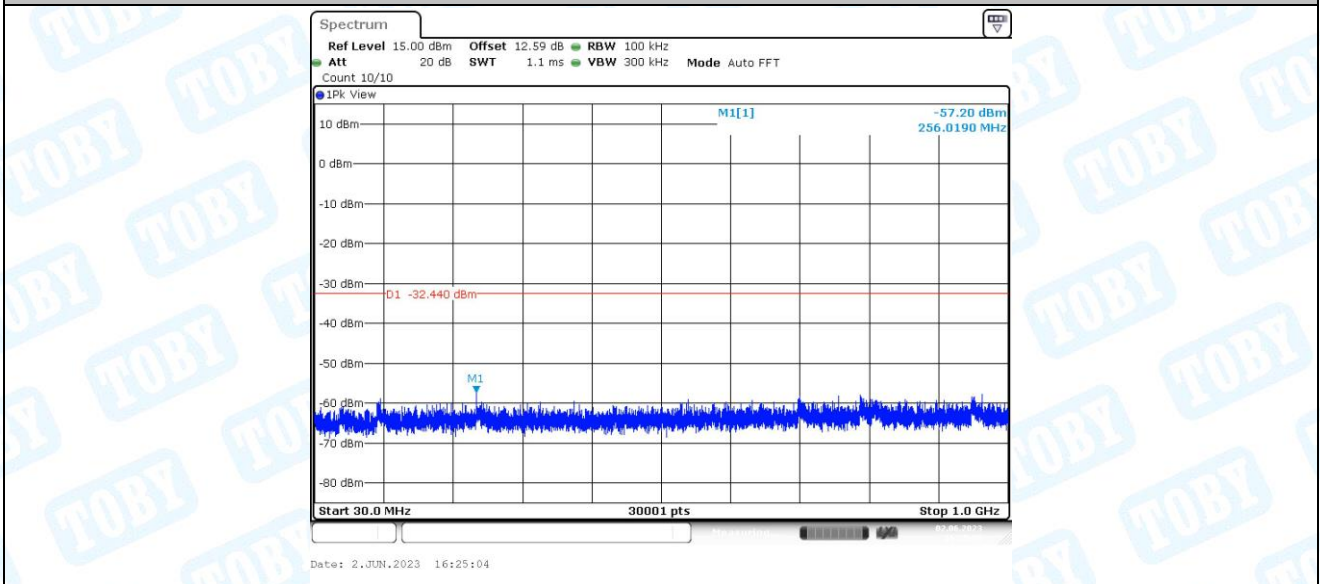
11AX40MIMO_Ant1_2437_30~1000



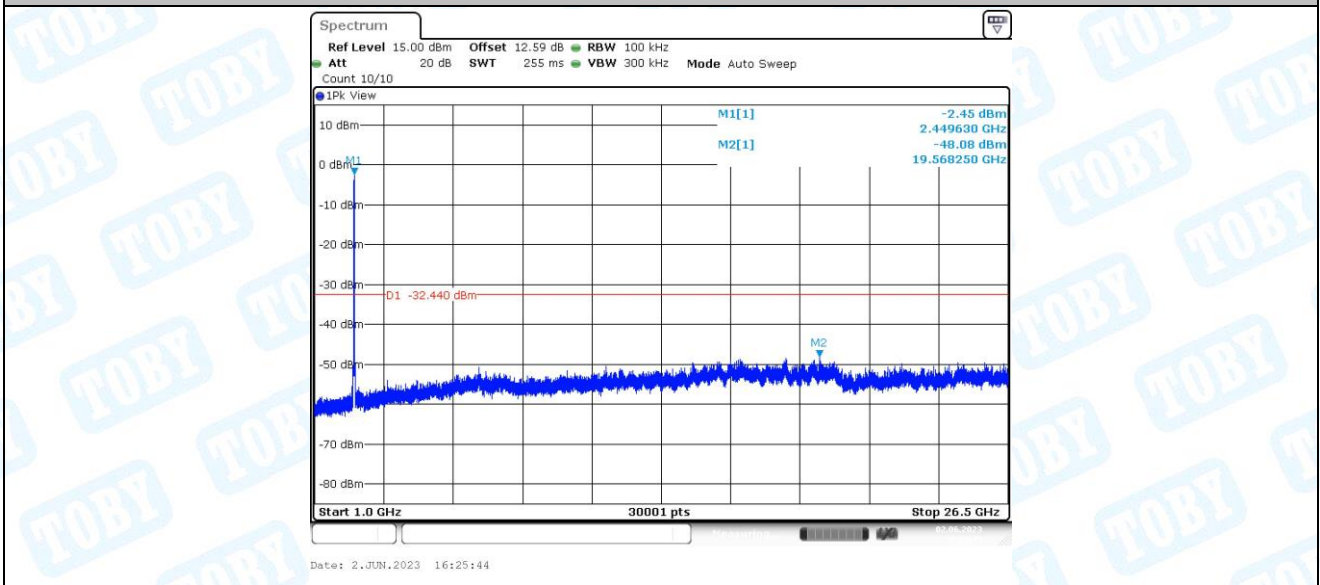
11AX40MIMO_Ant1_2437_1000~26500



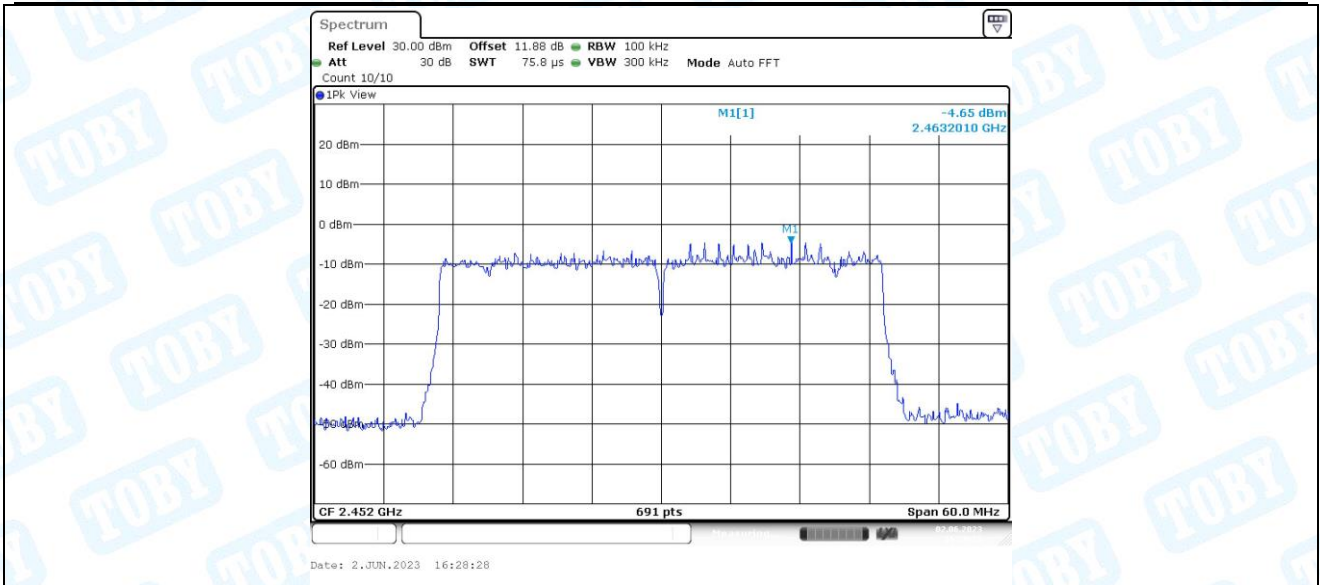
11AX40MIMO_Ant2_2437_0~Reference



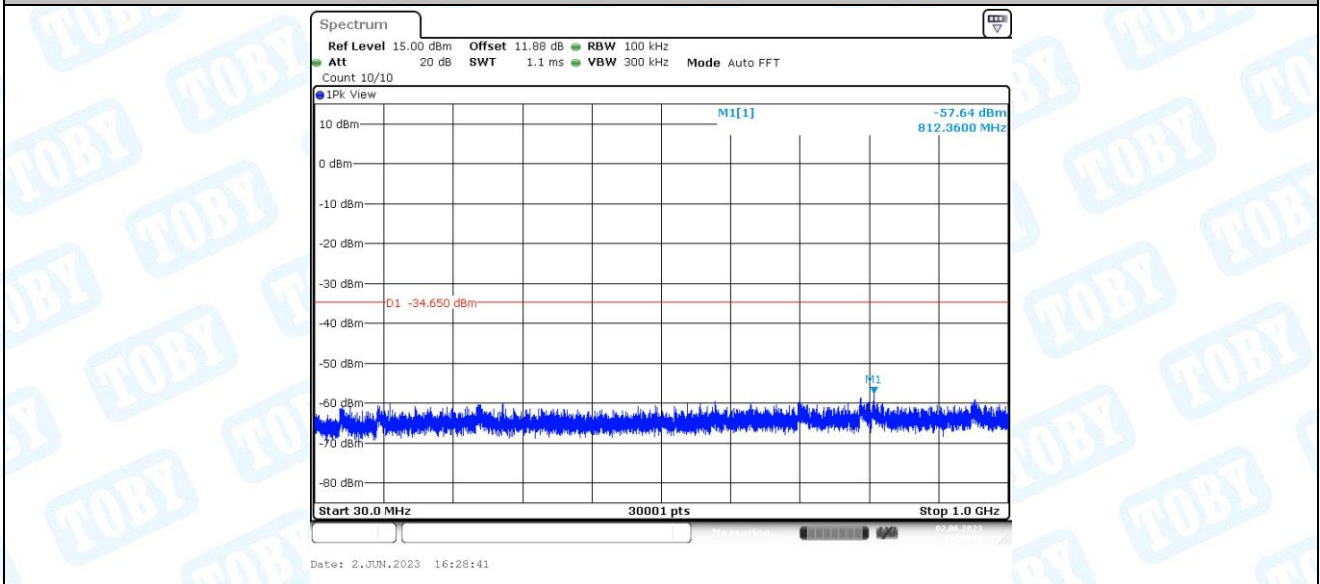
11AX40MIMO_Ant2_2437_30~1000



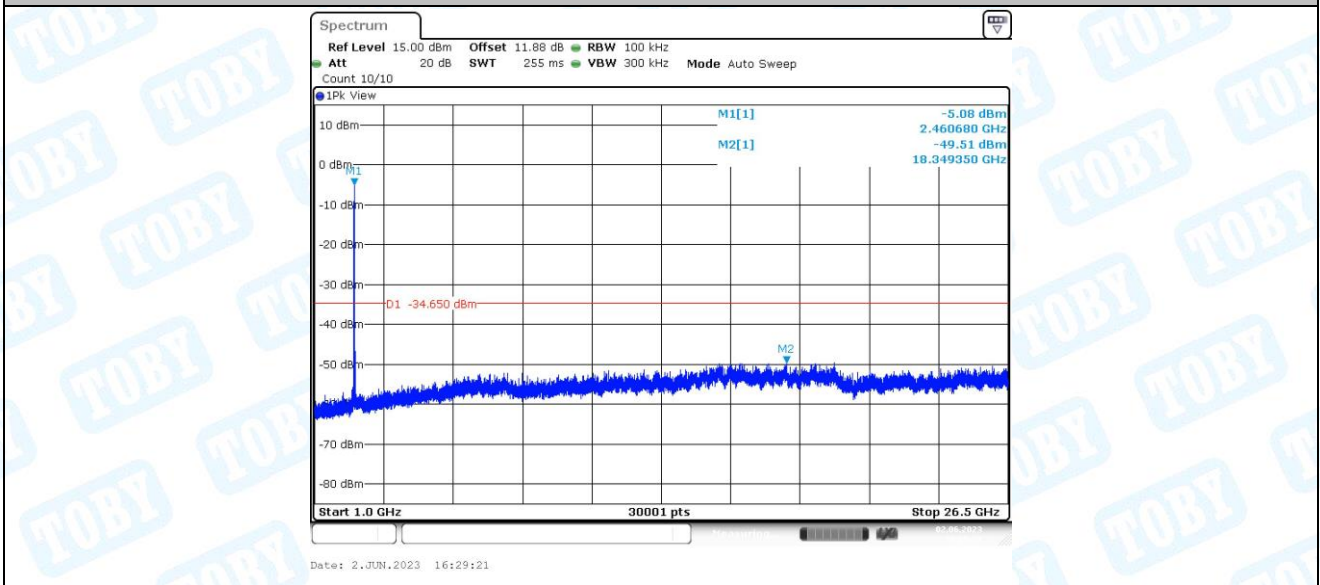
11AX40MIMO_Ant2_2437_1000~26500



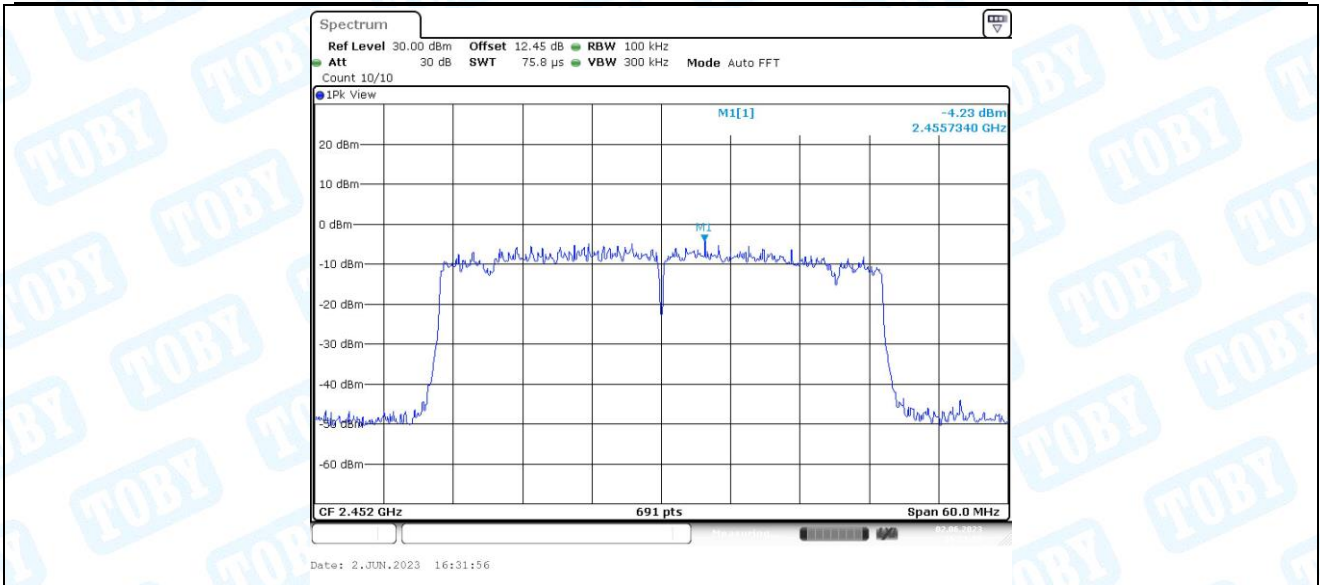
11AX40MIMO_Ant1_2452_0~Reference



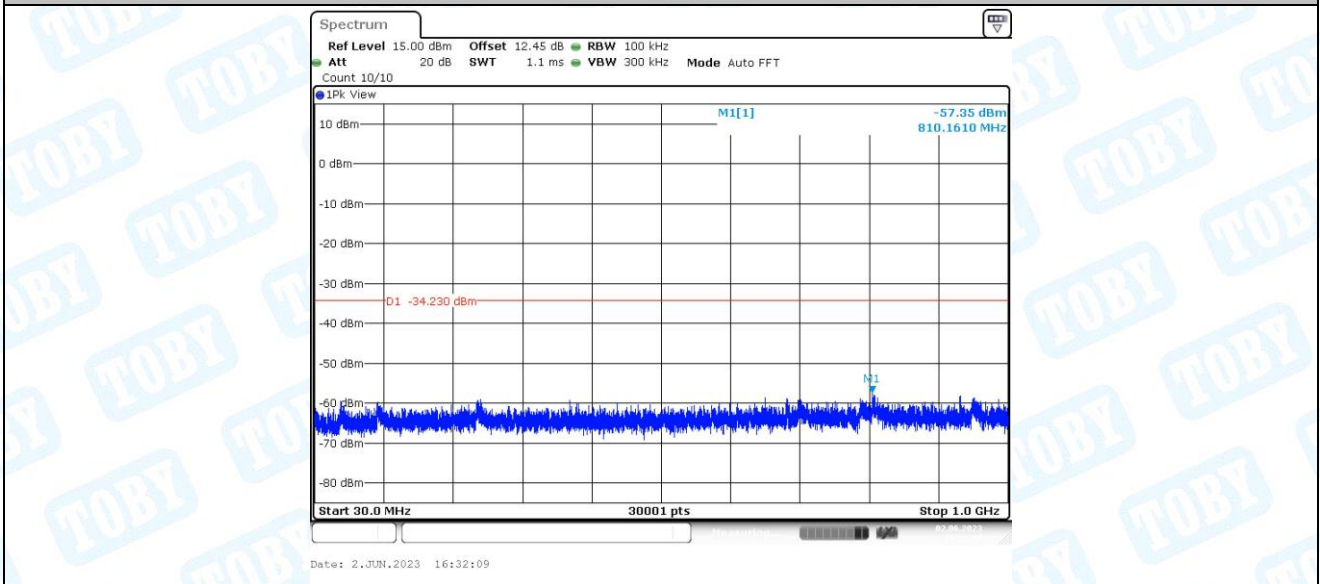
11AX40MIMO_Ant1_2452_30~1000



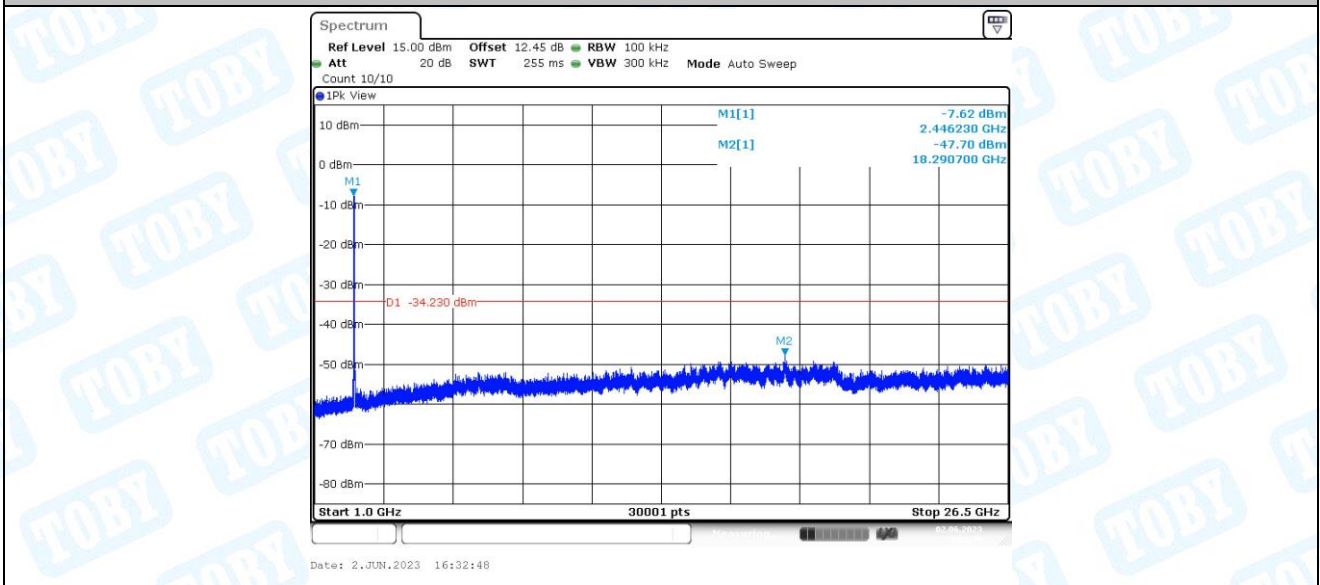
11AX40MIMO_Ant1_2452_1000~26500



11AX40MIMO_Ant2_2452_0~Reference



11AX40MIMO_Ant2_2452_30~1000



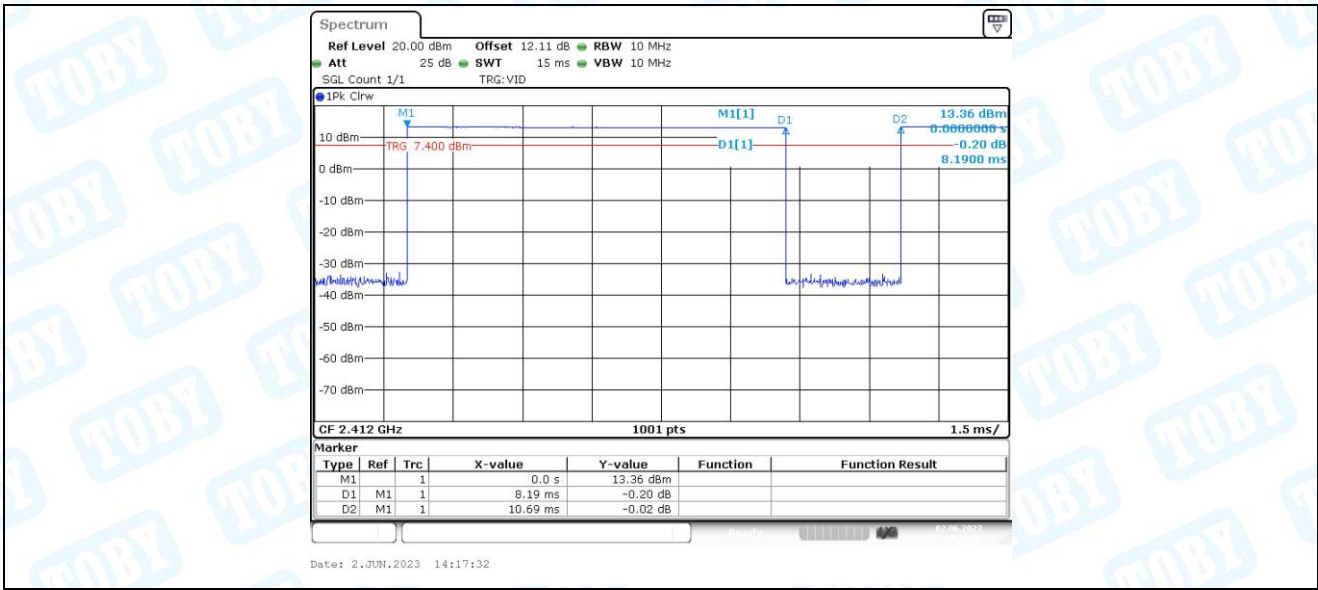
11AX40MIMO_Ant2_2452_1000~26500

7. Duty Cycle

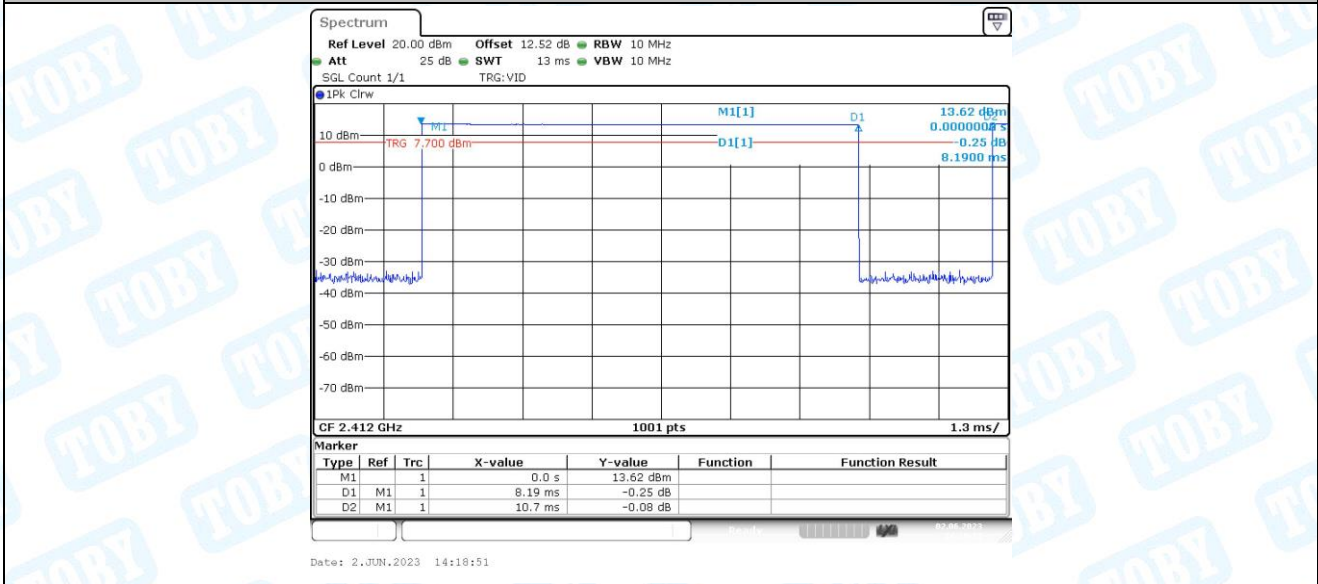
7.1. Test Result

TestMode	Antenna	Channel	Transmission Duration [ms]	Transmission Period [ms]	Duty Cycle [%]	1/T [KHz]	Limit	Verdict
11B-CDD	Ant1	2412	8.19	10.69	76.61	0.1221	---	---
	Ant2	2412	8.19	10.70	76.54	0.1221	---	---
	Ant1	2437	8.20	10.70	76.64	0.1219	---	---
	Ant2	2437	8.21	10.71	76.66	0.1218	---	---
	Ant1	2462	8.19	10.70	76.54	0.1221	---	---
	Ant2	2462	8.20	10.71	76.56	0.1219	---	---
11G-CDD	Ant1	2412	1.36	3.87	35.14	0.7352	---	---
	Ant2	2412	1.36	3.87	35.14	0.7353	---	---
	Ant1	2437	1.35	3.85	35.06	0.7407	---	---
	Ant2	2437	1.36	3.86	35.23	0.7353	---	---
	Ant1	2462	1.36	3.86	35.23	0.7353	---	---
	Ant2	2462	1.36	3.86	35.23	0.7353	---	---
11N20MIMO	Ant1	2412	1.27	3.77	33.69	0.7874	---	---
	Ant2	2412	1.28	3.78	33.86	0.7813	---	---
	Ant1	2437	1.28	3.78	33.86	0.7813	---	---
	Ant2	2437	1.28	3.77	33.95	0.7813	---	---
	Ant1	2462	1.28	3.78	33.86	0.7813	---	---
	Ant2	2462	1.27	3.77	33.69	0.7874	---	---
11N40MIMO	Ant1	2422	0.63	3.14	20.06	1.5873	---	---
	Ant2	2422	0.64	3.14	20.38	1.5625	---	---
	Ant1	2437	0.63	3.14	20.06	1.5873	---	---
	Ant2	2437	0.63	3.13	20.13	1.5873	---	---
	Ant1	2452	0.63	3.13	20.13	1.5873	---	---
	Ant2	2452	0.63	3.13	20.13	1.5873	---	---
11AX20MIMO	Ant1	2412	1.17	3.67	31.88	0.8547	---	---
	Ant2	2412	1.17	3.68	31.79	0.8547	---	---
	Ant1	2437	1.17	3.67	31.88	0.8547	---	---
	Ant2	2437	1.17	3.68	31.79	0.8547	---	---
	Ant1	2462	1.17	3.66	31.97	0.8547	---	---
	Ant2	2462	1.17	3.67	31.88	0.8547	---	---
11AX40MIMO	Ant1	2422	0.61	3.11	19.61	1.6393	---	---
	Ant2	2422	0.62	3.12	19.87	1.6129	---	---
	Ant1	2437	0.61	3.11	19.61	1.6393	---	---
	Ant2	2437	0.62	3.12	19.87	1.6129	---	---
	Ant1	2452	0.62	3.11	19.94	1.6129	---	---
	Ant2	2452	0.62	3.12	19.87	1.6129	---	---

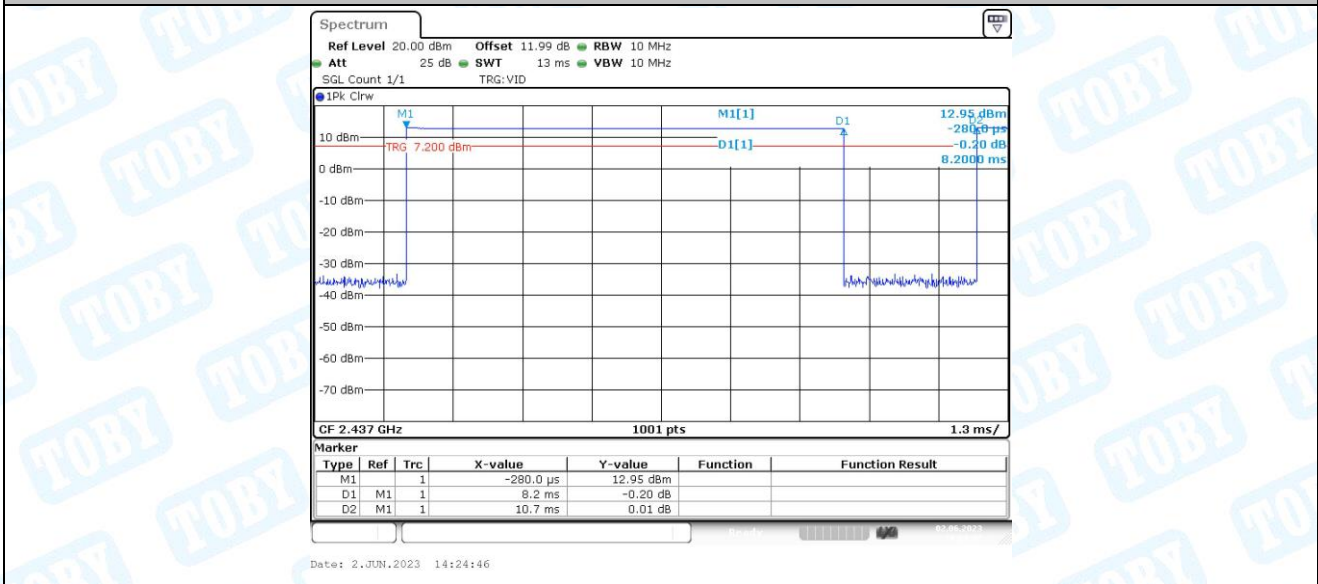
7.2. Test Graphs



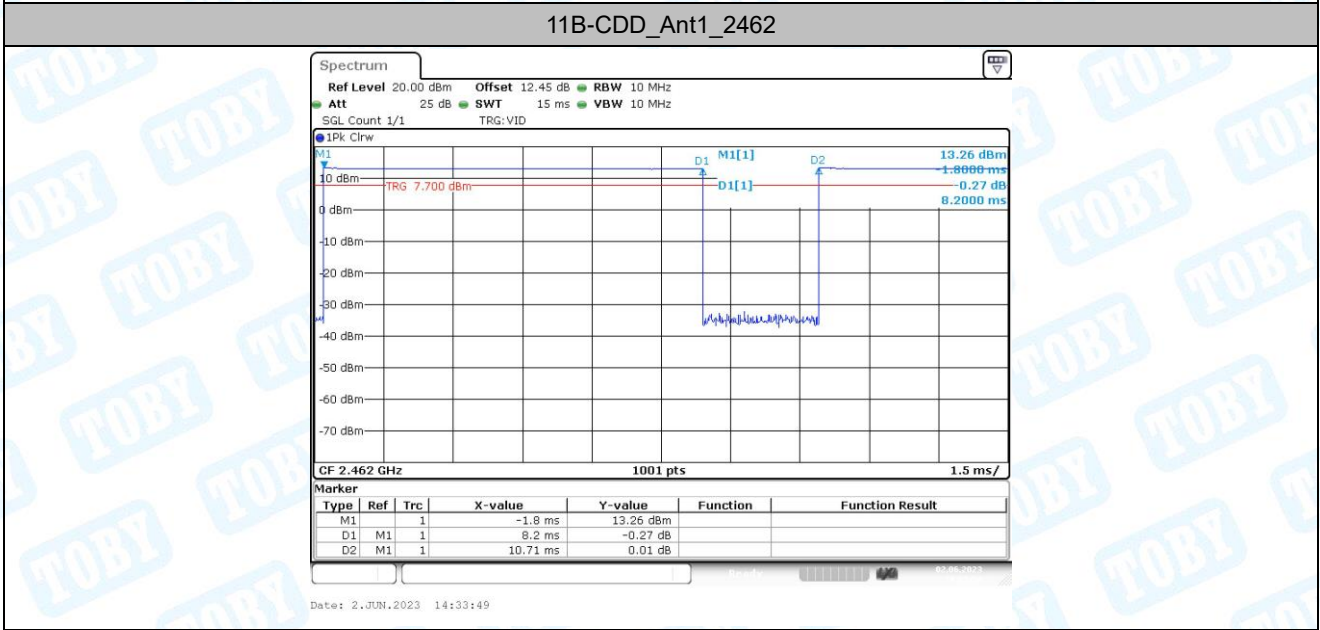
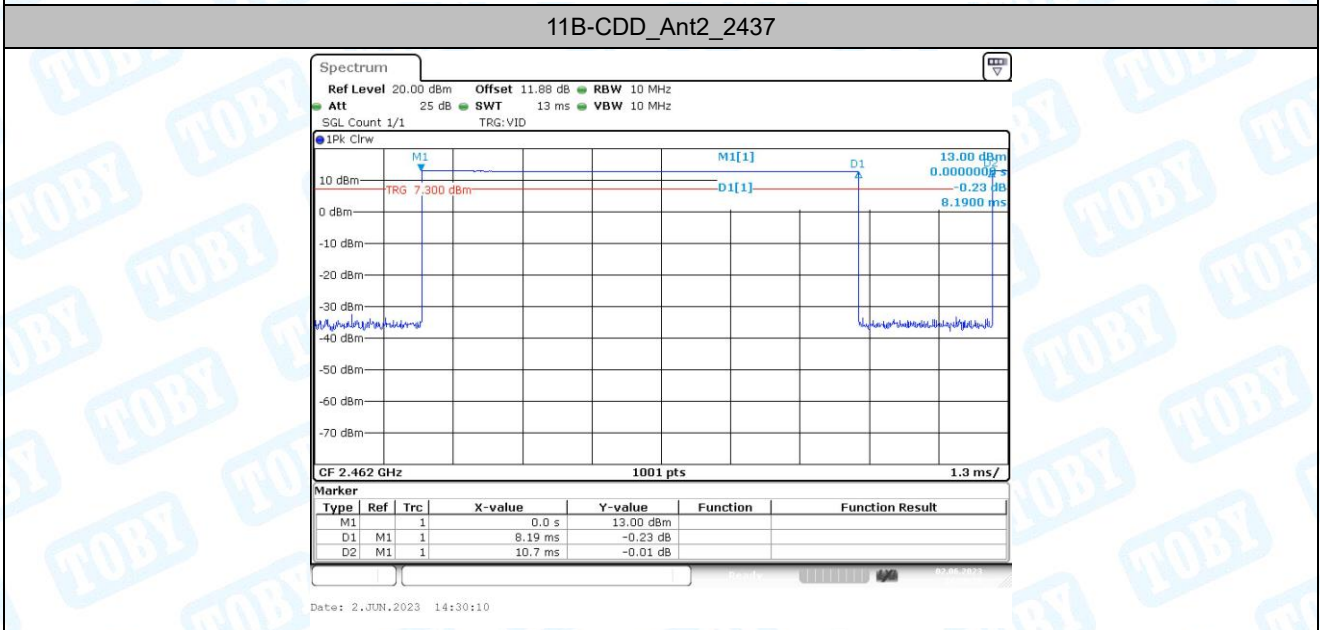
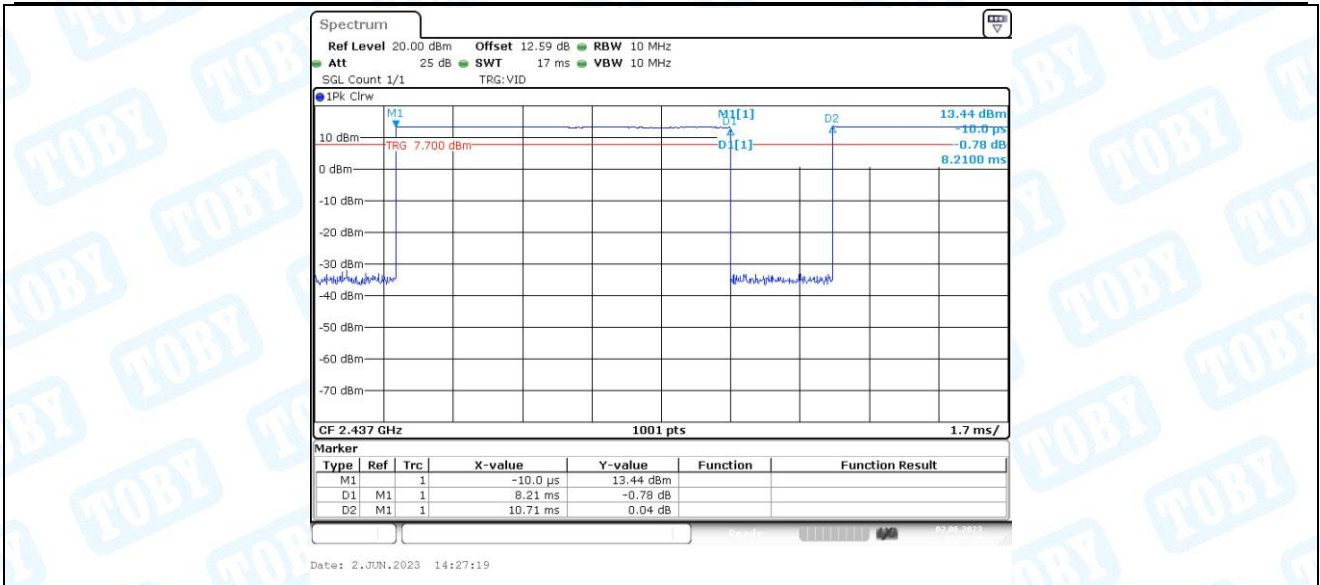
11B-CDD_Ant1_2412

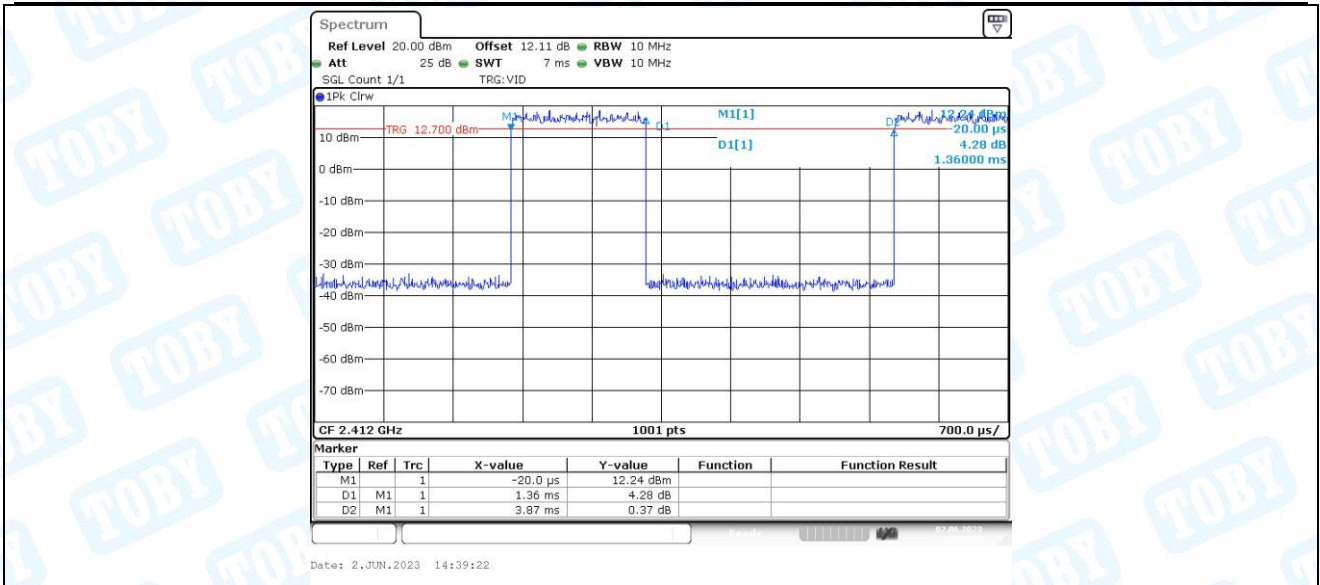


11B-CDD_Ant2_2412

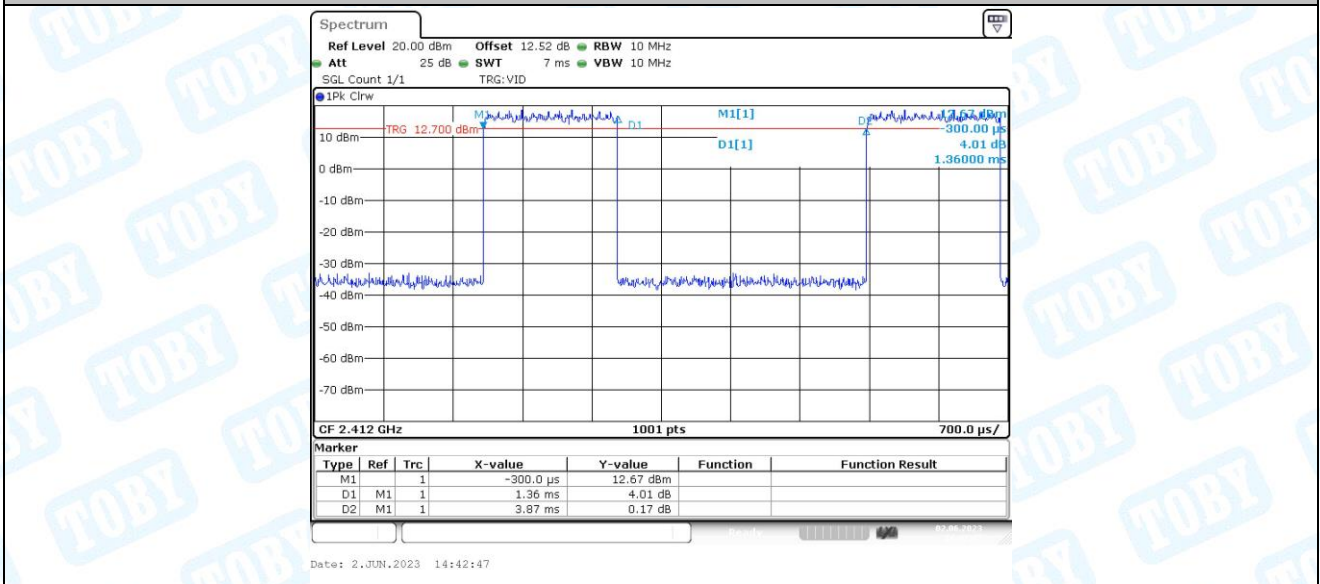


11B-CDD_Ant1_2437

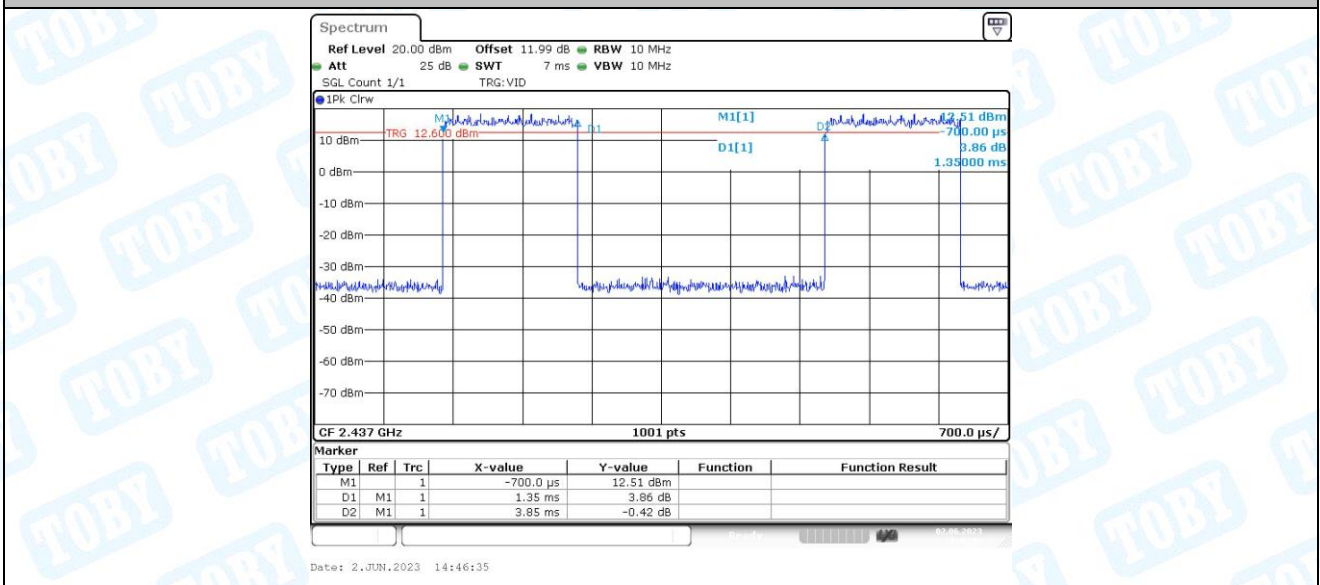




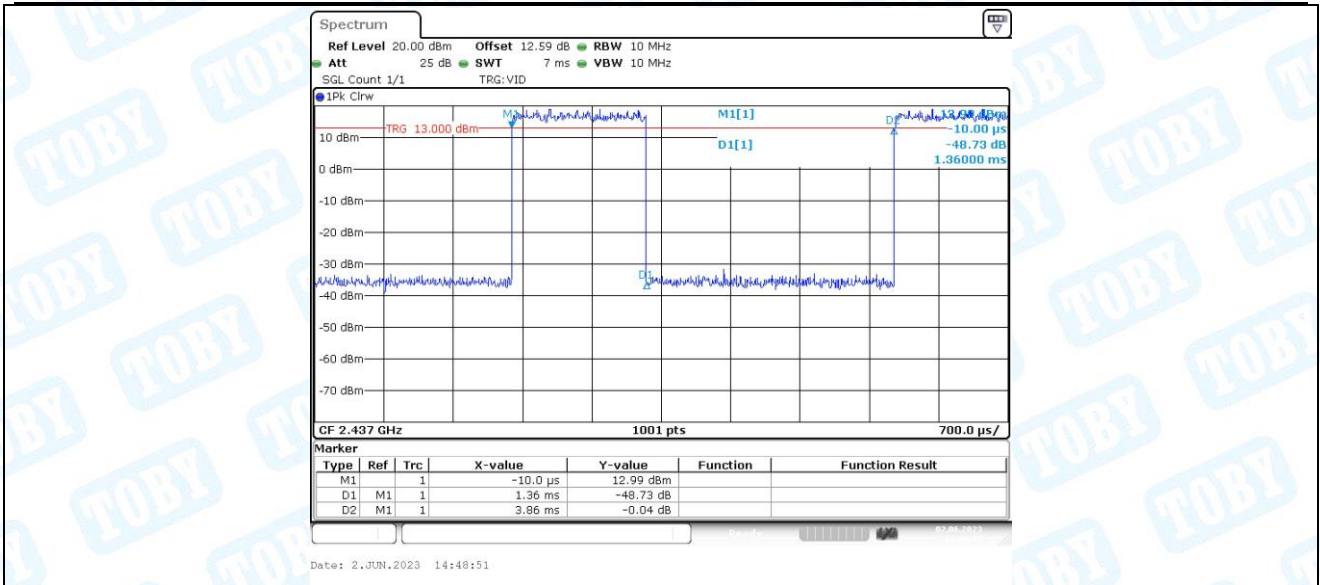
11G-CDD_Ant1_2412



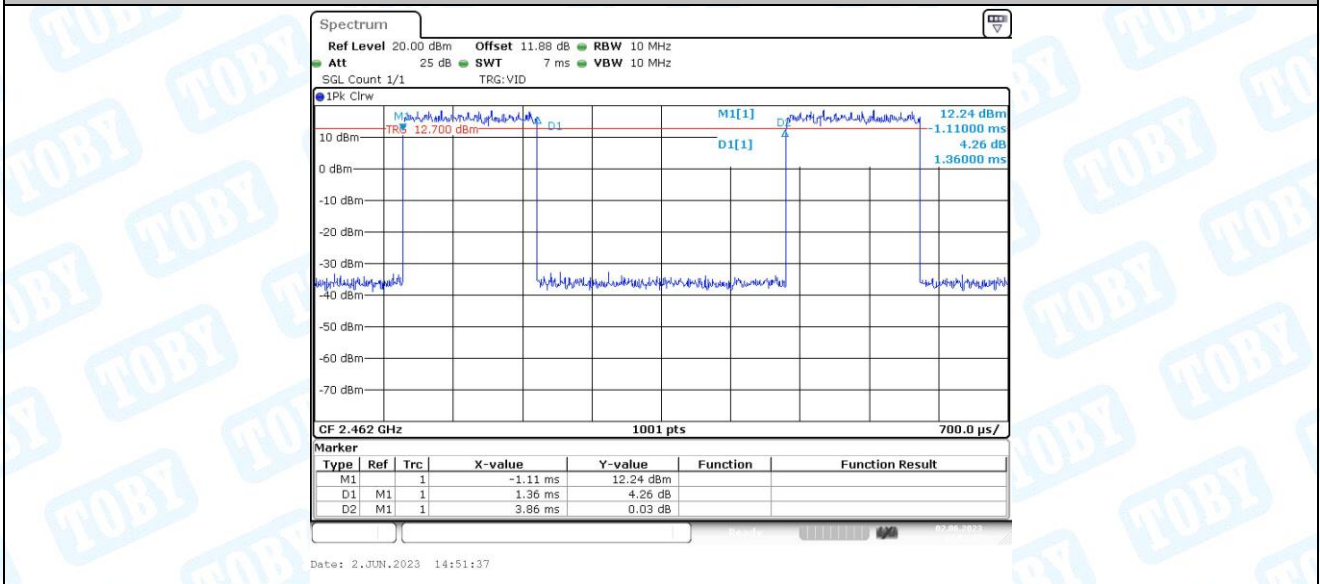
11G-CDD_Ant2_2412



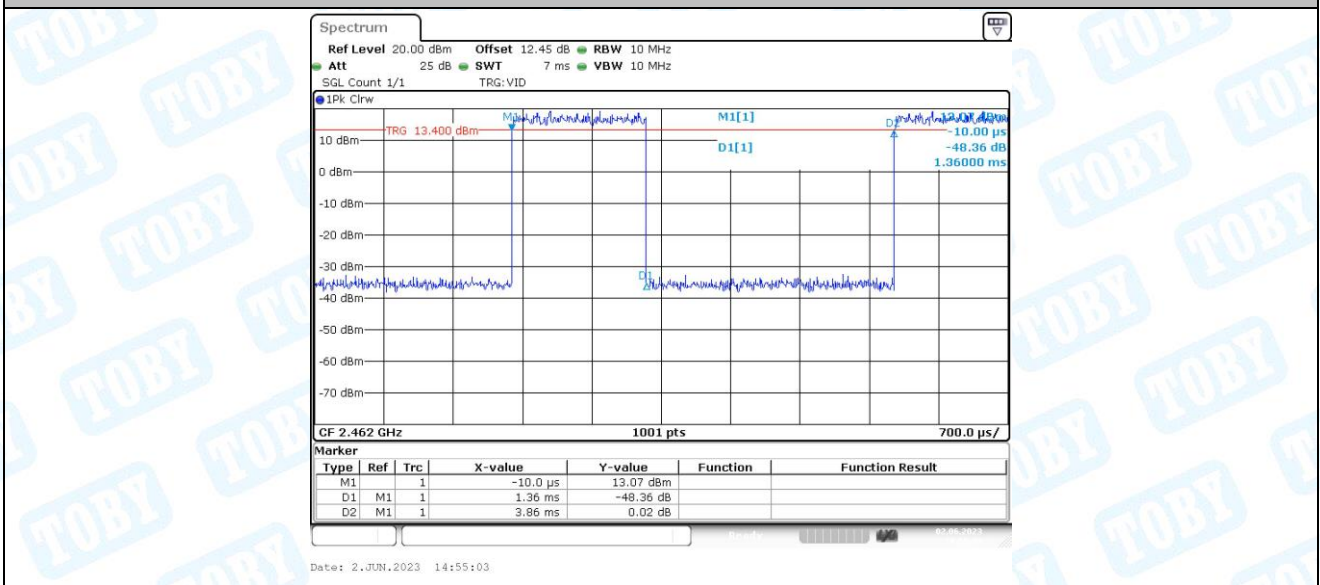
11G-CDD_Ant1_2437



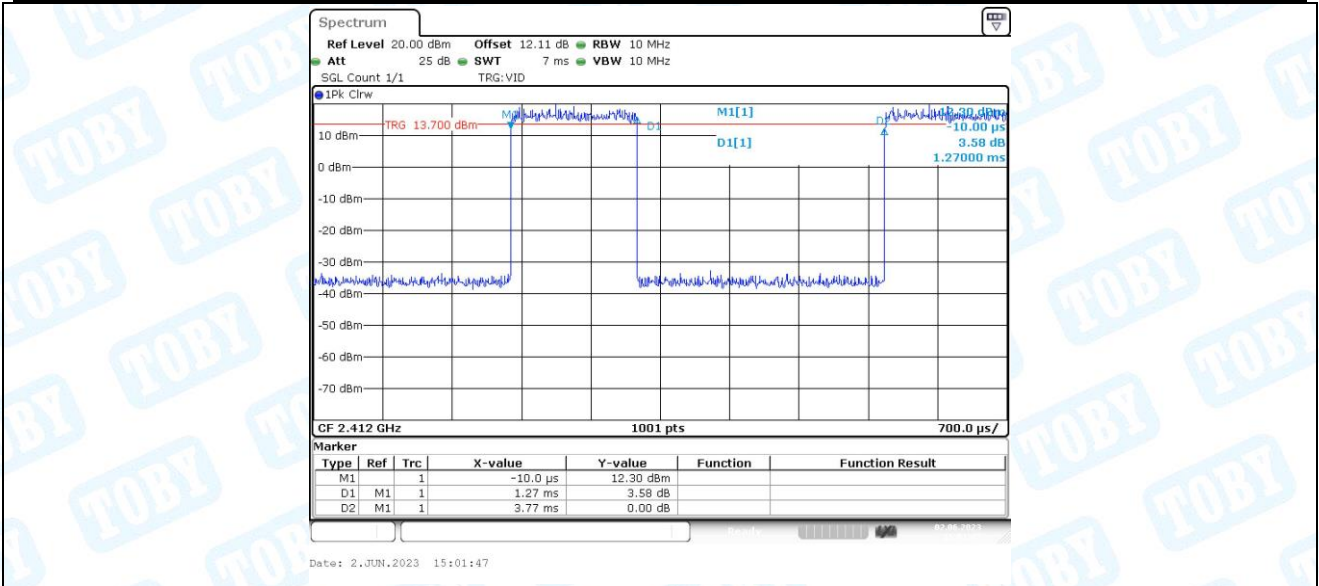
11G-CDD_Ant2_2437



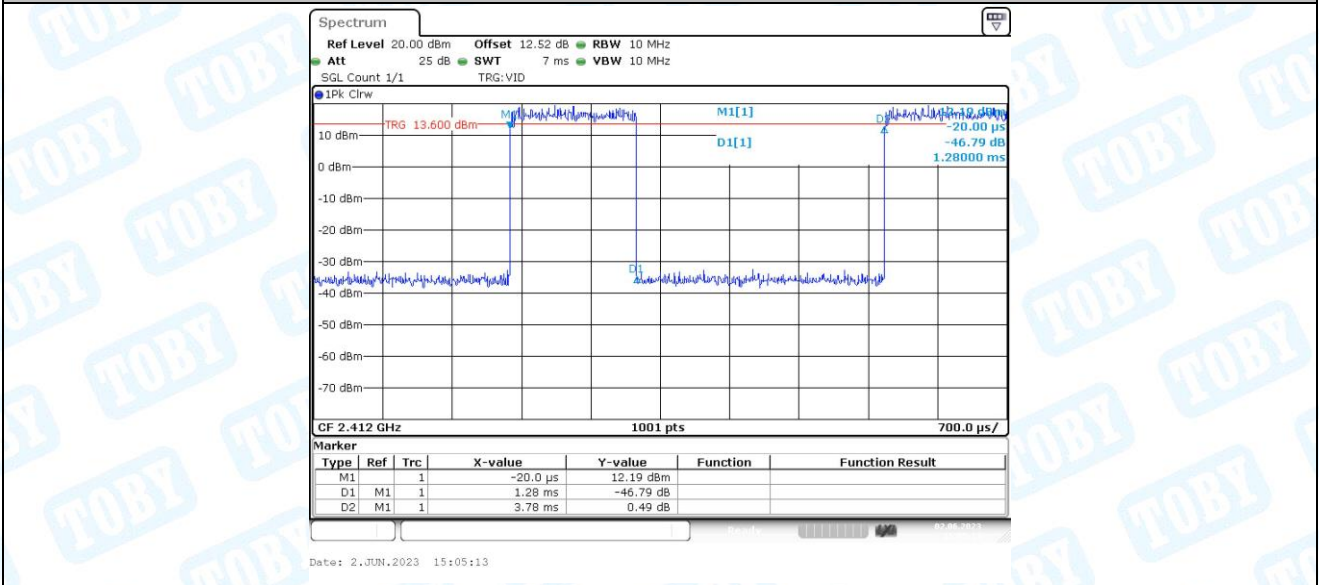
11G-CDD_Ant1_2462



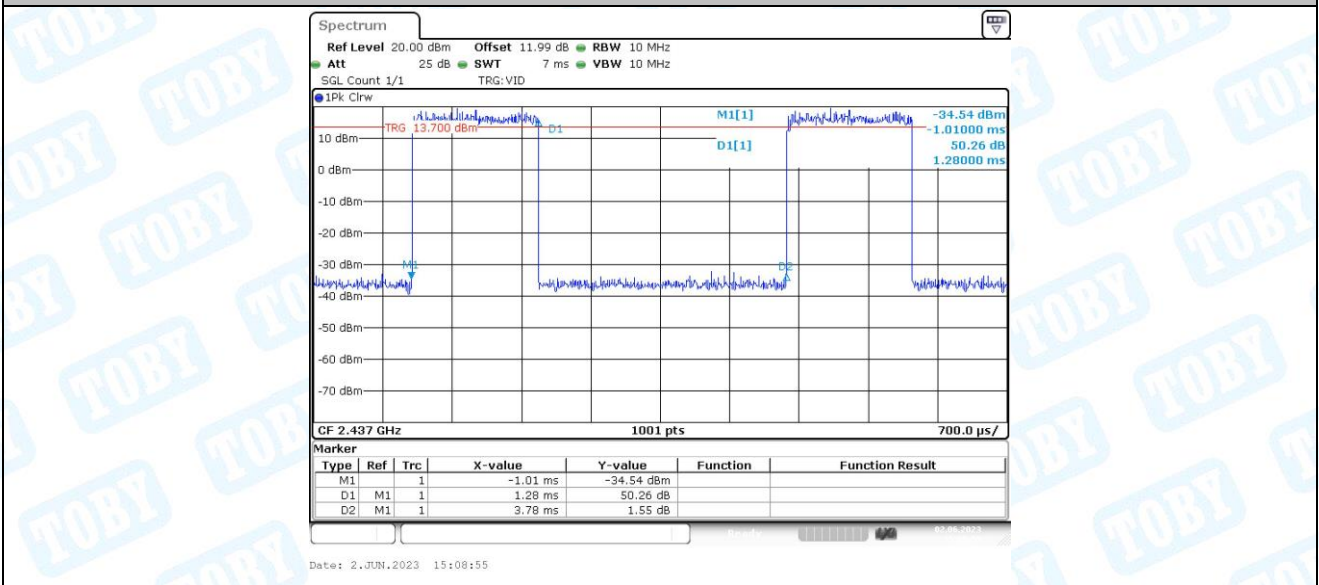
11G-CDD_Ant2_2462



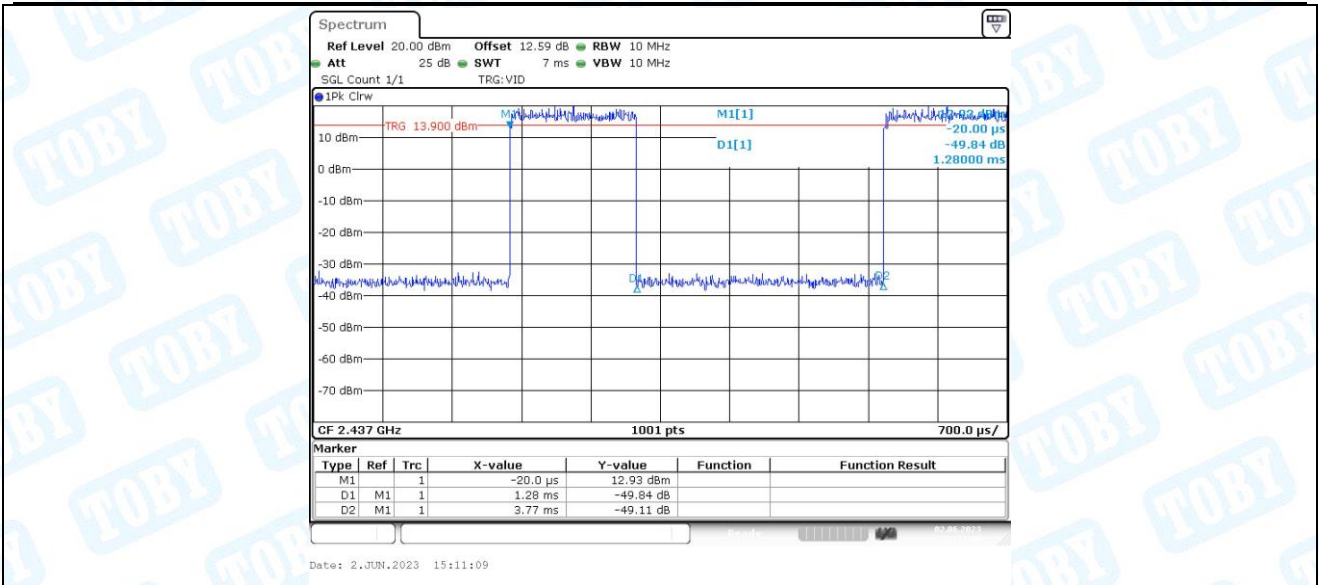
11N20MIMO_Ant1_2412



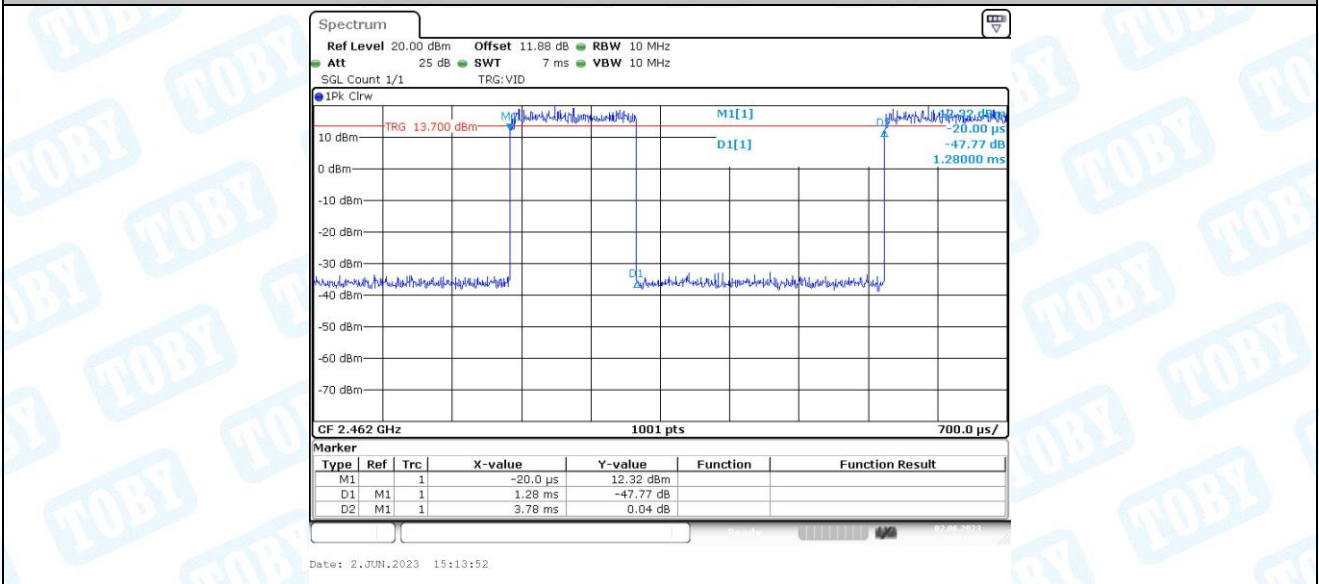
11N20MIMO_Ant2_2412



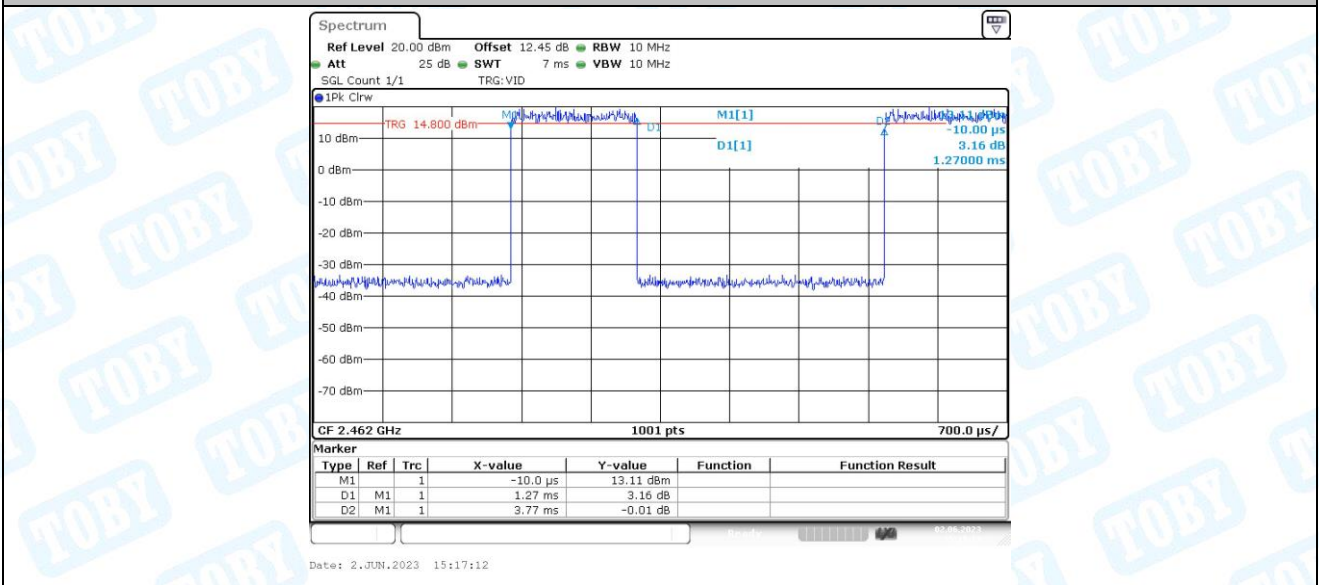
11N20MIMO_Ant1_2437



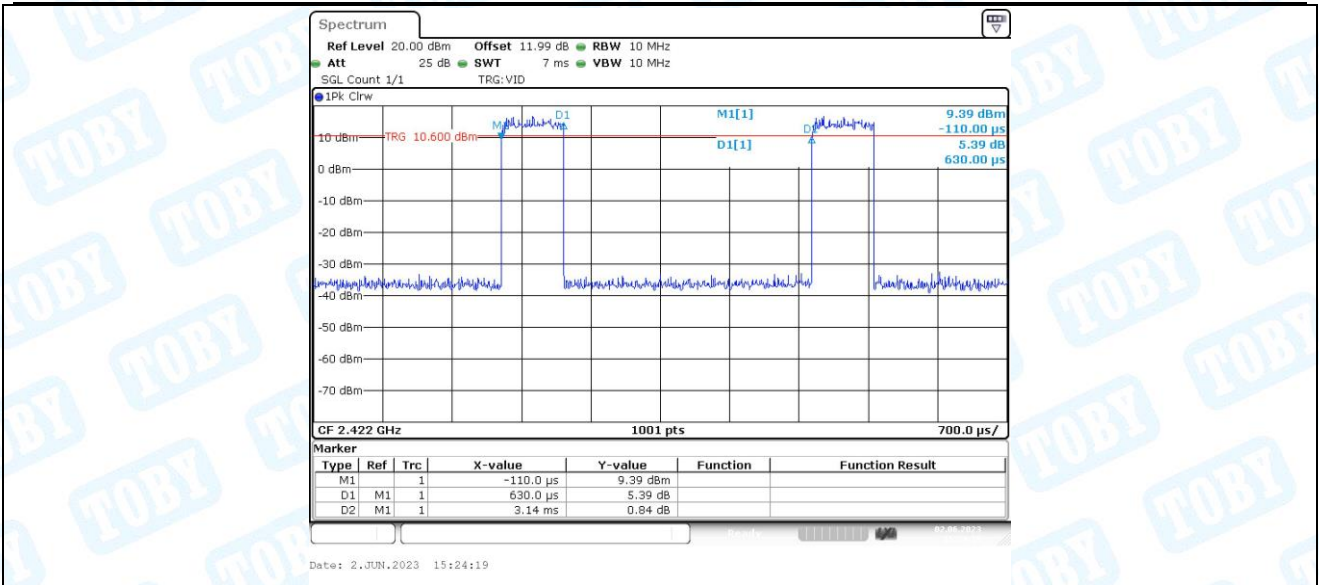
11N20MIMO_Ant2_2437



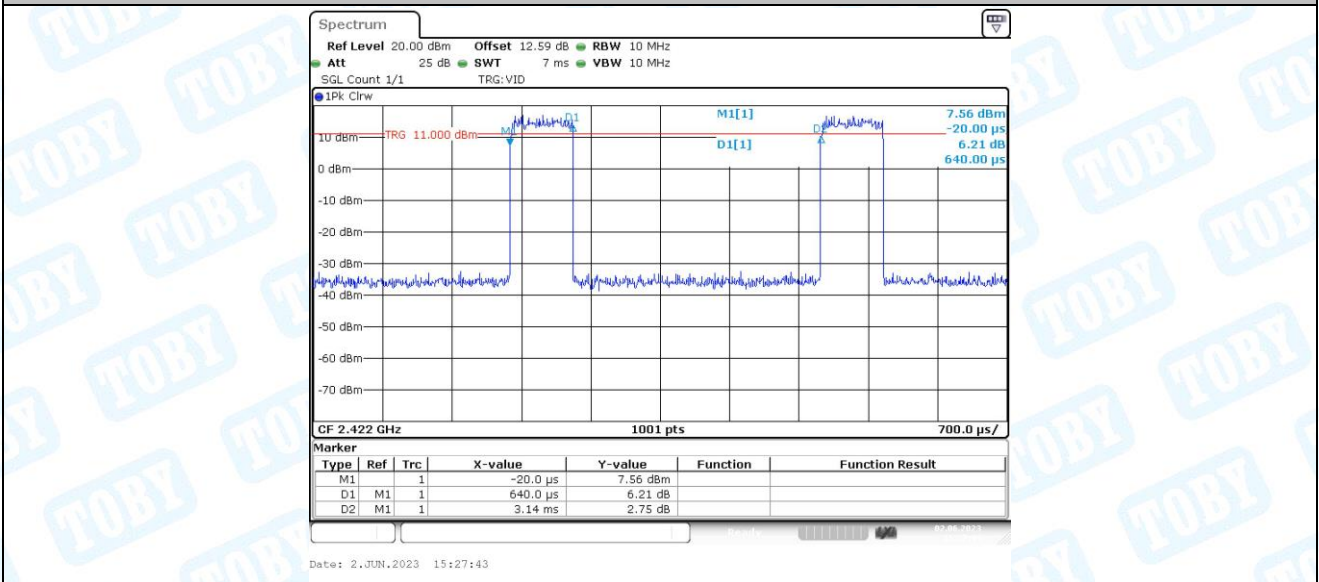
11N20MIMO_Ant1_2462



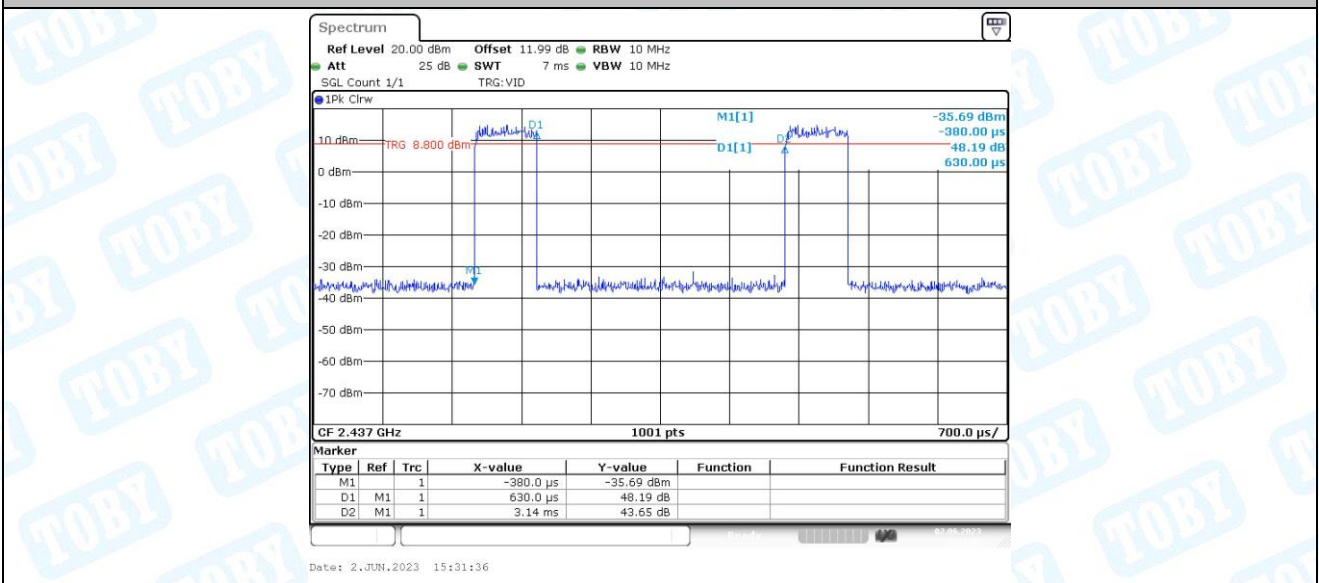
11N20MIMO_Ant2_2462



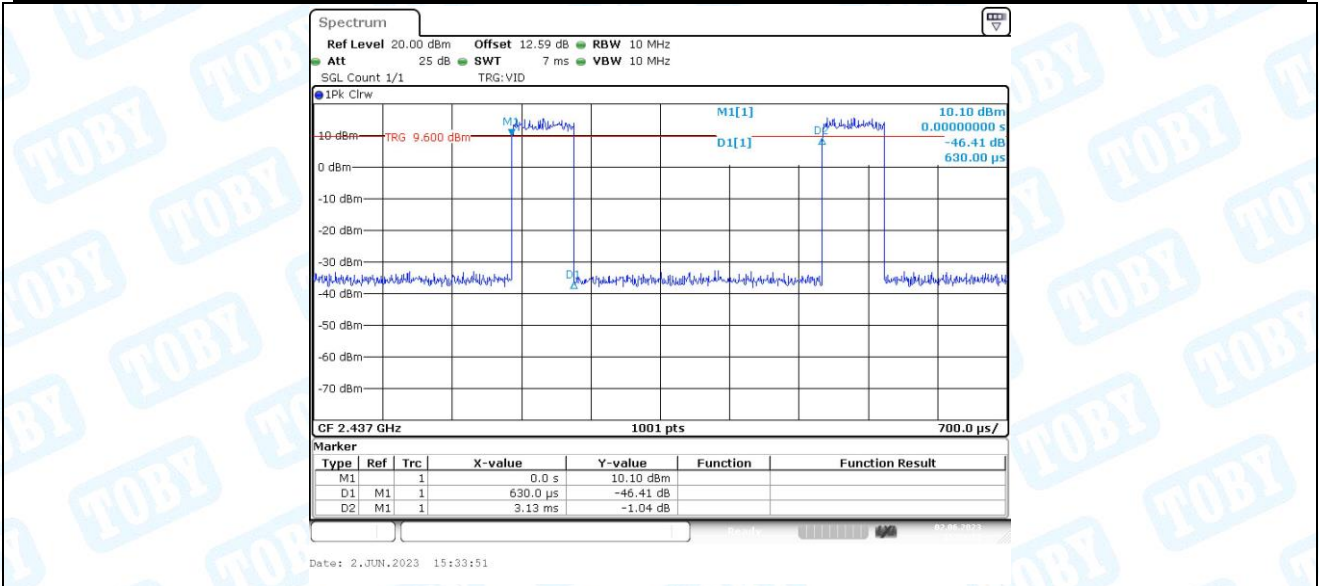
11N40MIMO_Ant1_2422



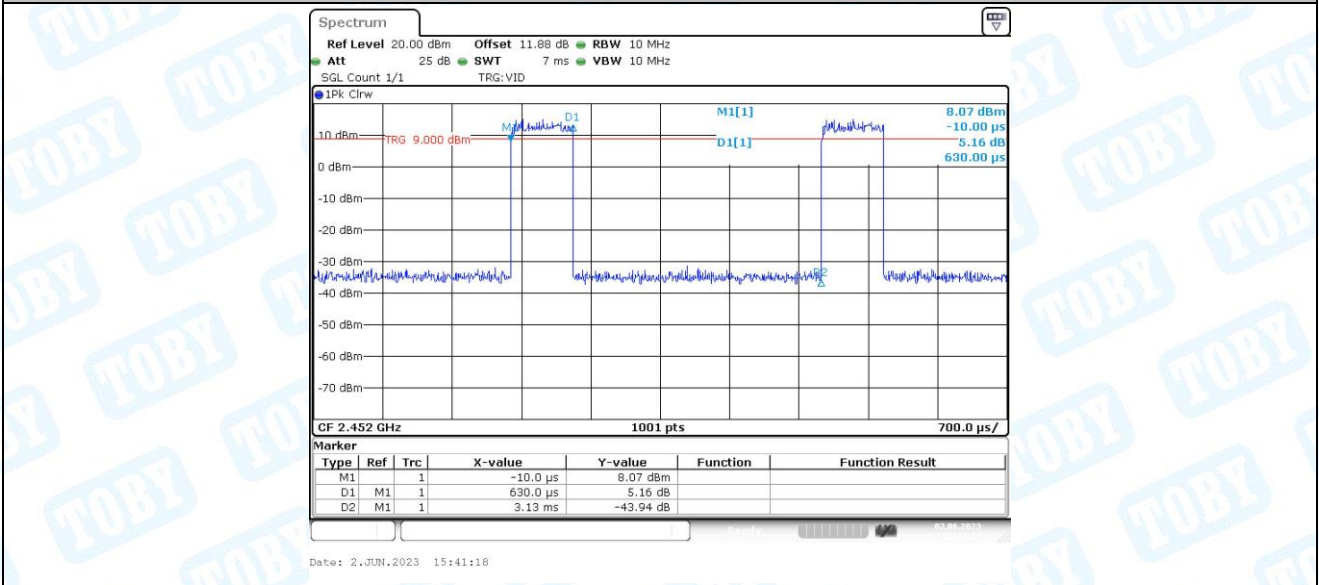
11N40MIMO_Ant2_2422



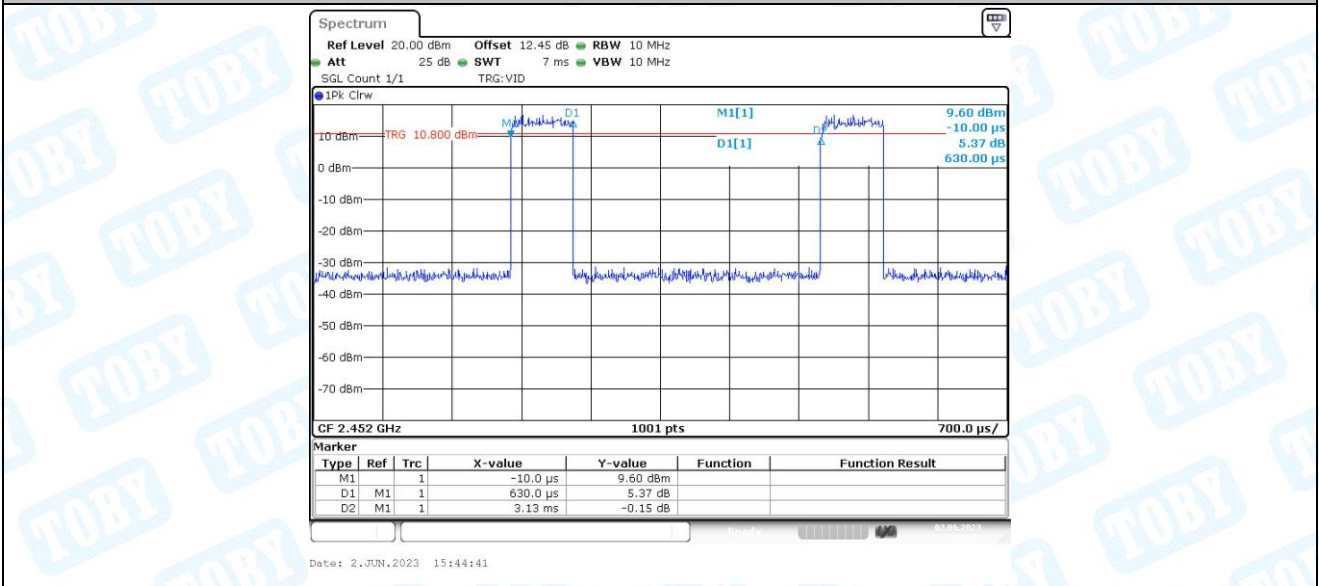
11N40MIMO_Ant1_2437



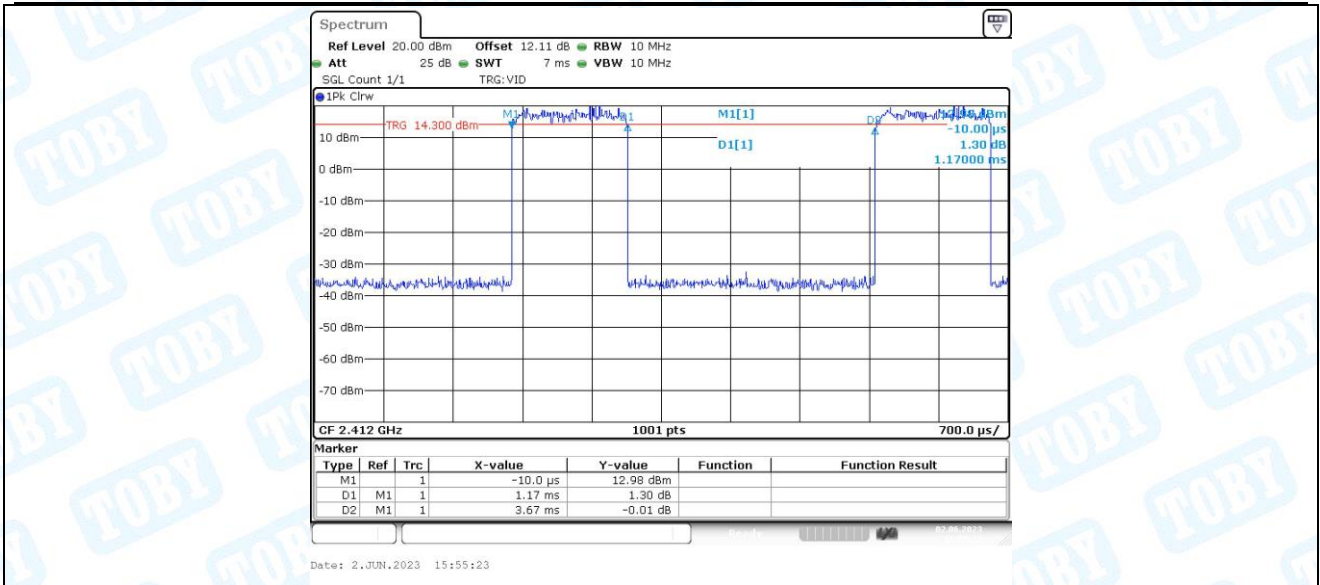
11N40MIMO_Ant2_2437



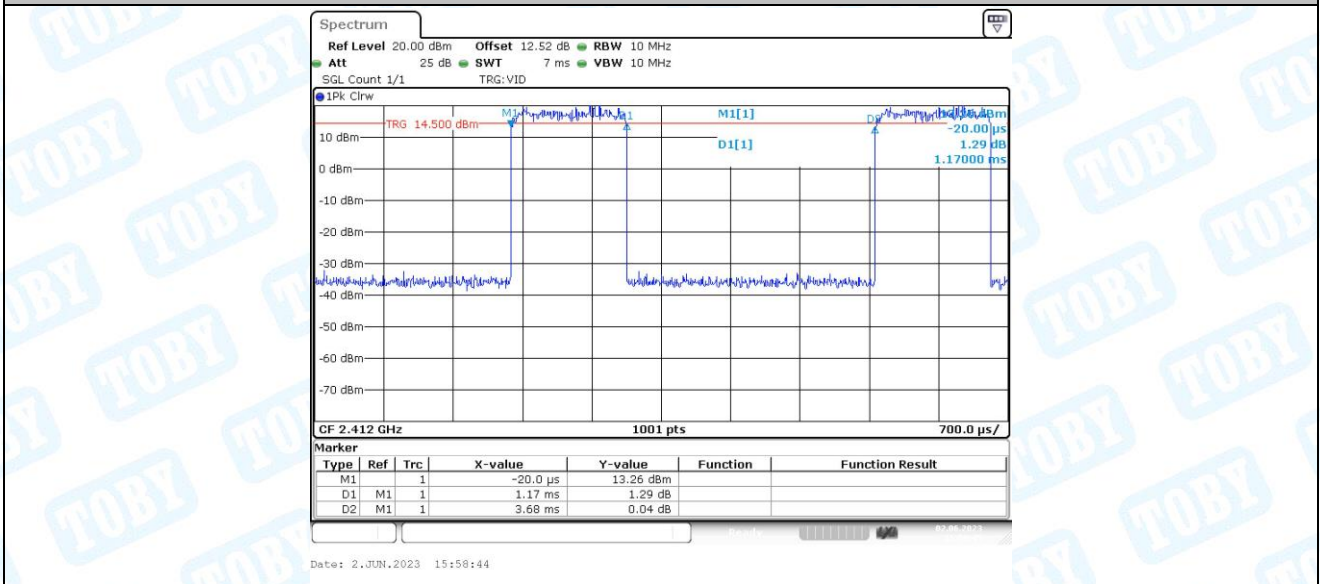
11N40MIMO_Ant1_2452



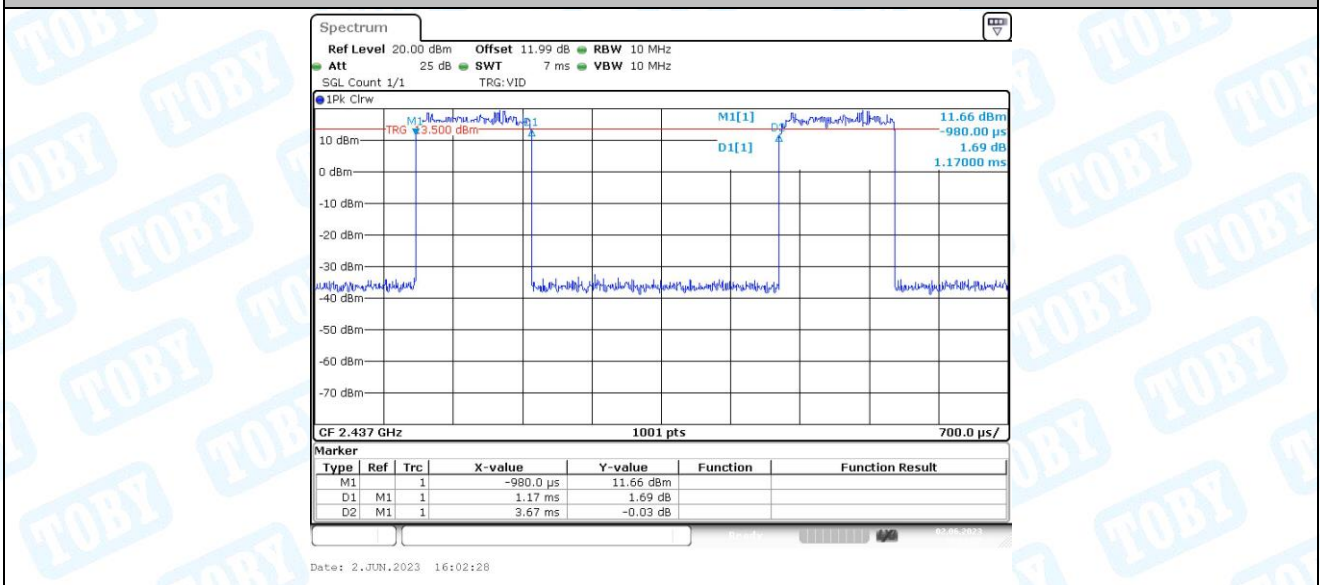
11N40MIMO_Ant2_2452



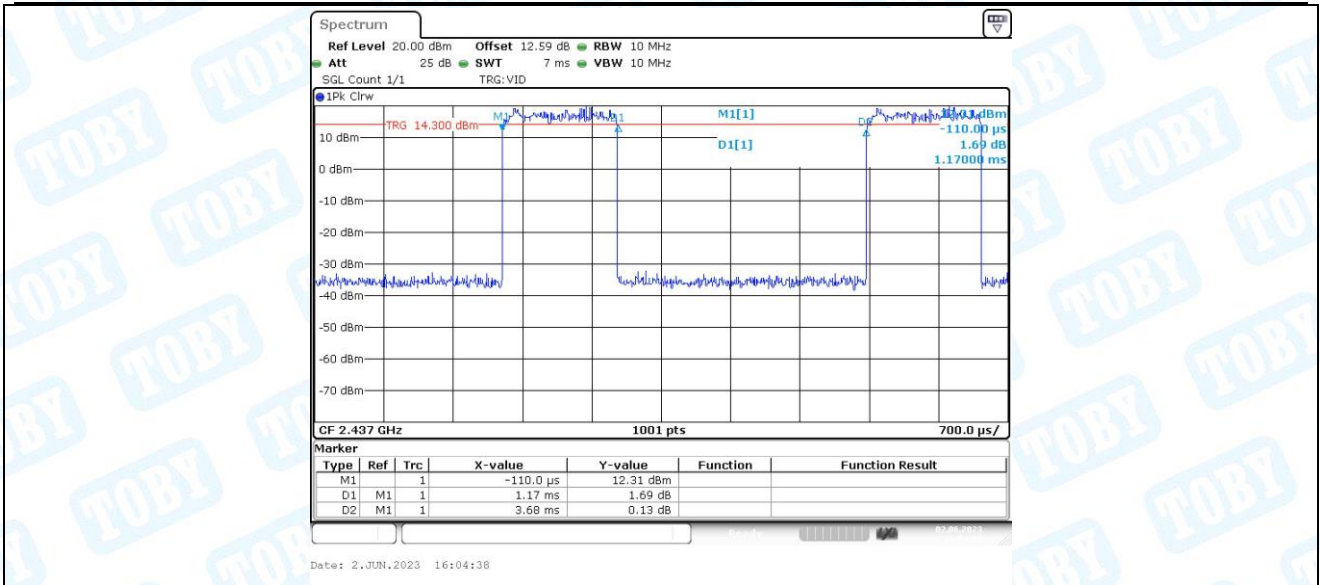
11AX20MIMO_Ant1_2412



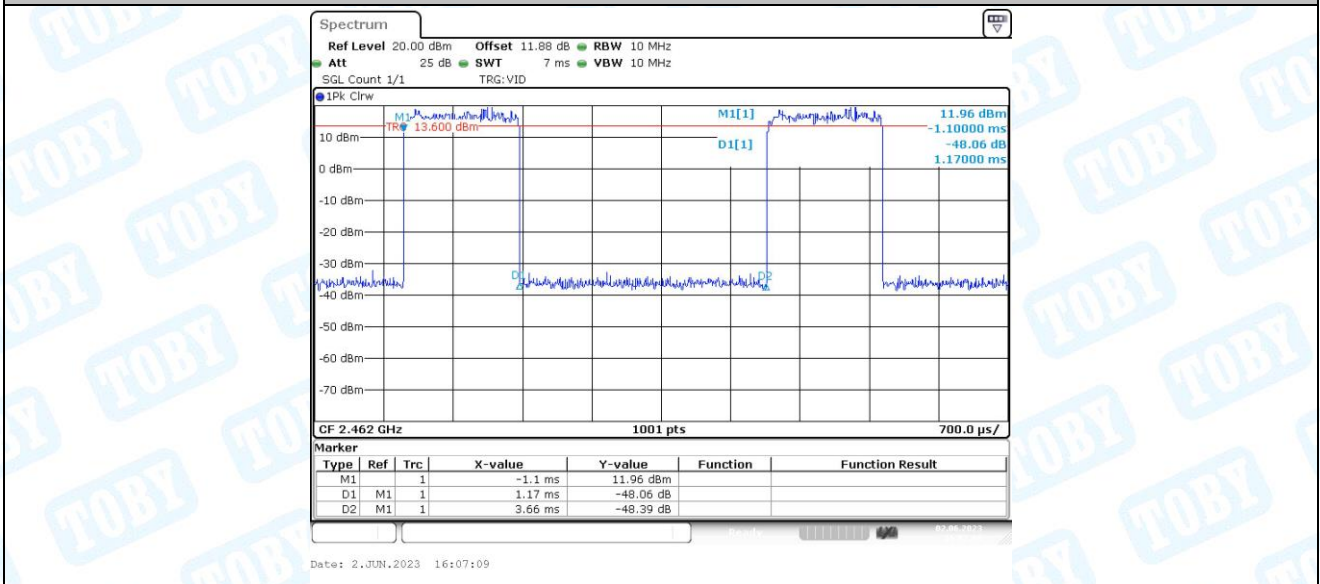
11AX20MIMO_Ant2_2412



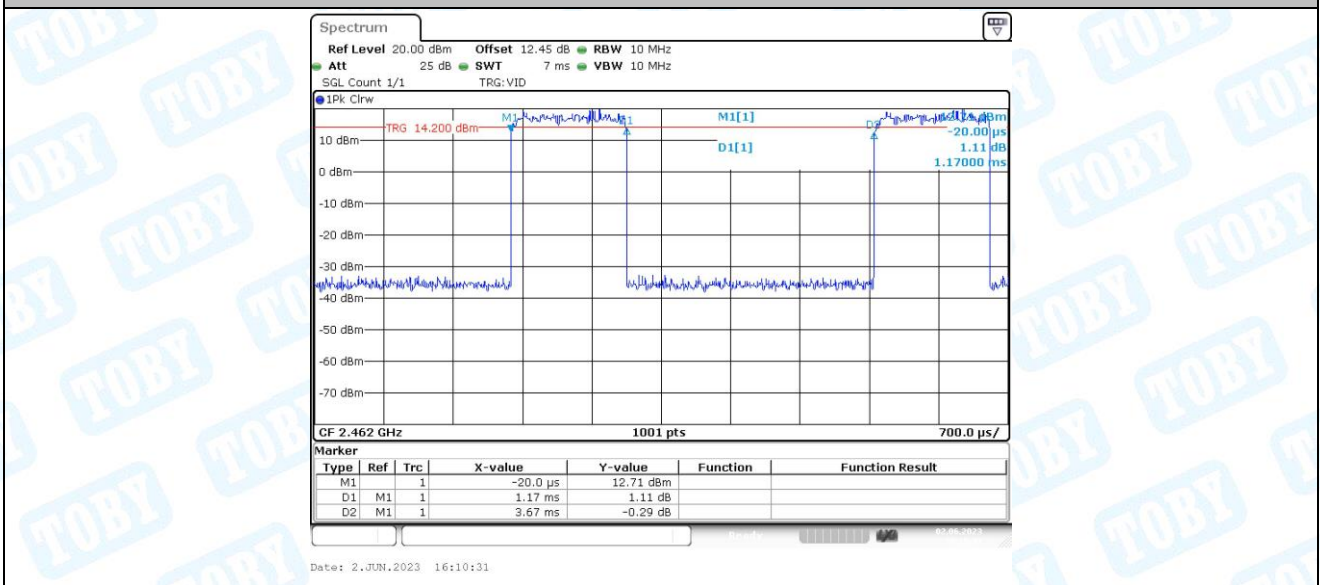
11AX20MIMO_Ant1_2437



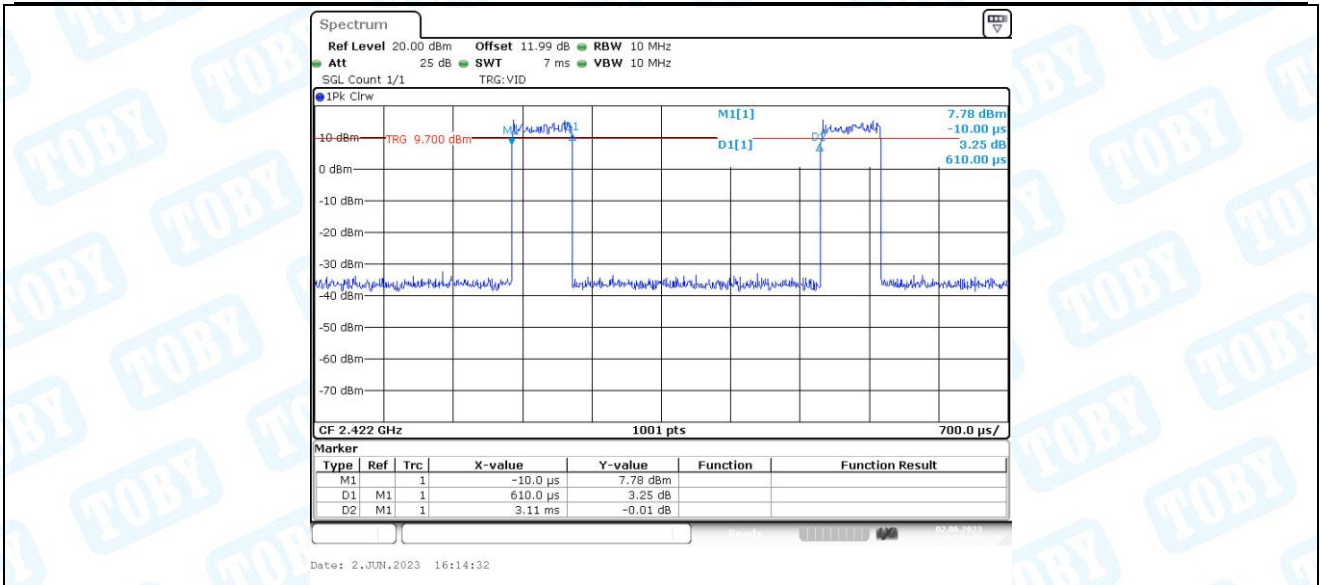
11AX20MIMO_Ant2_2437



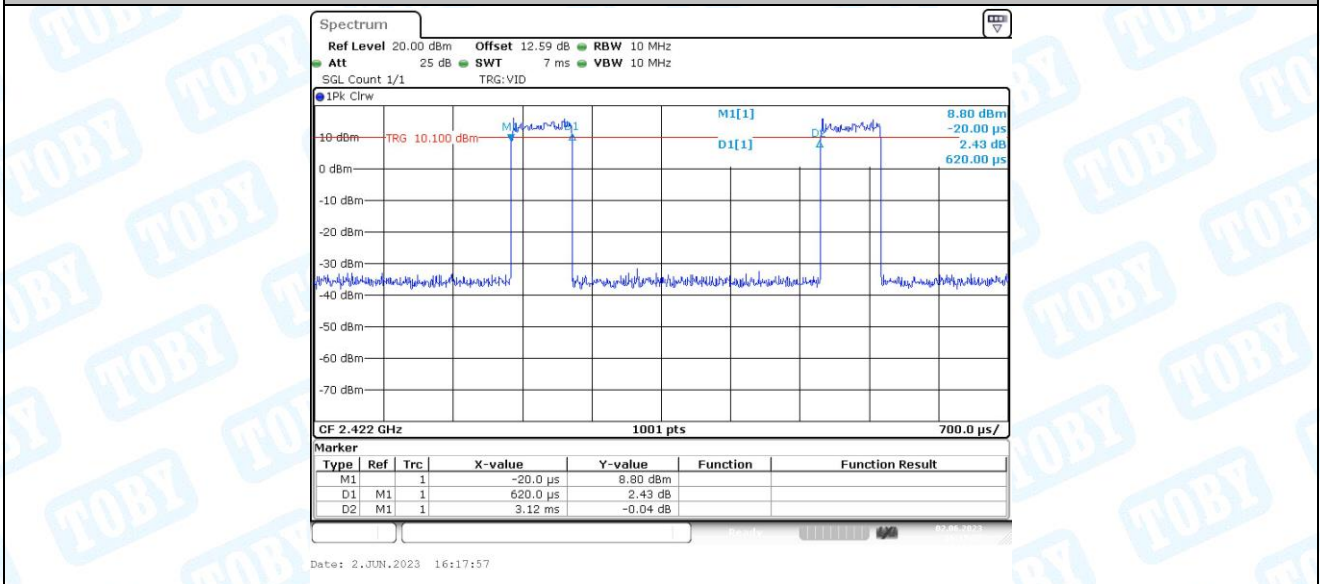
11AX20MIMO_Ant1_2462



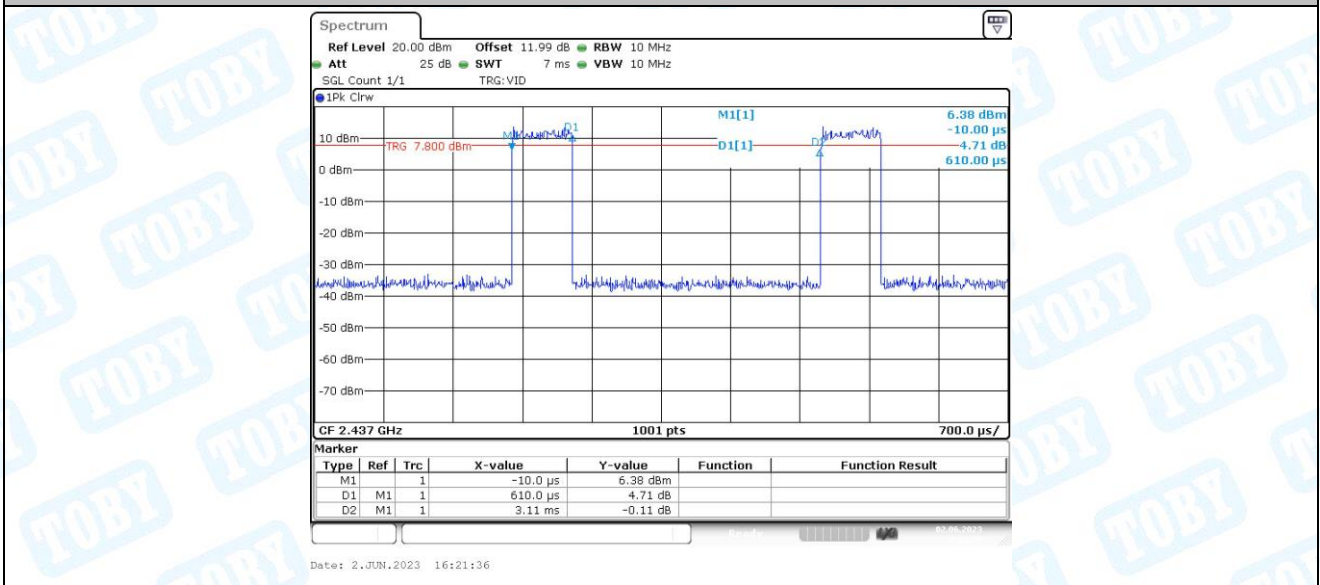
11AX20MIMO_Ant2_2462



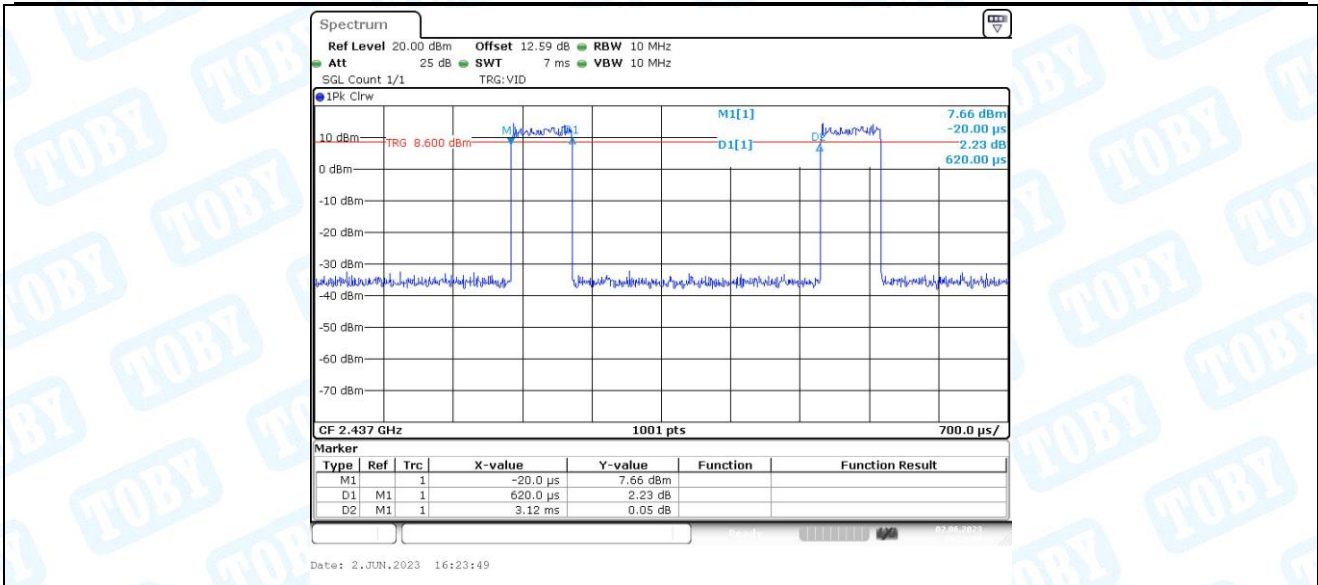
11AX40MIMO_Ant1_2422



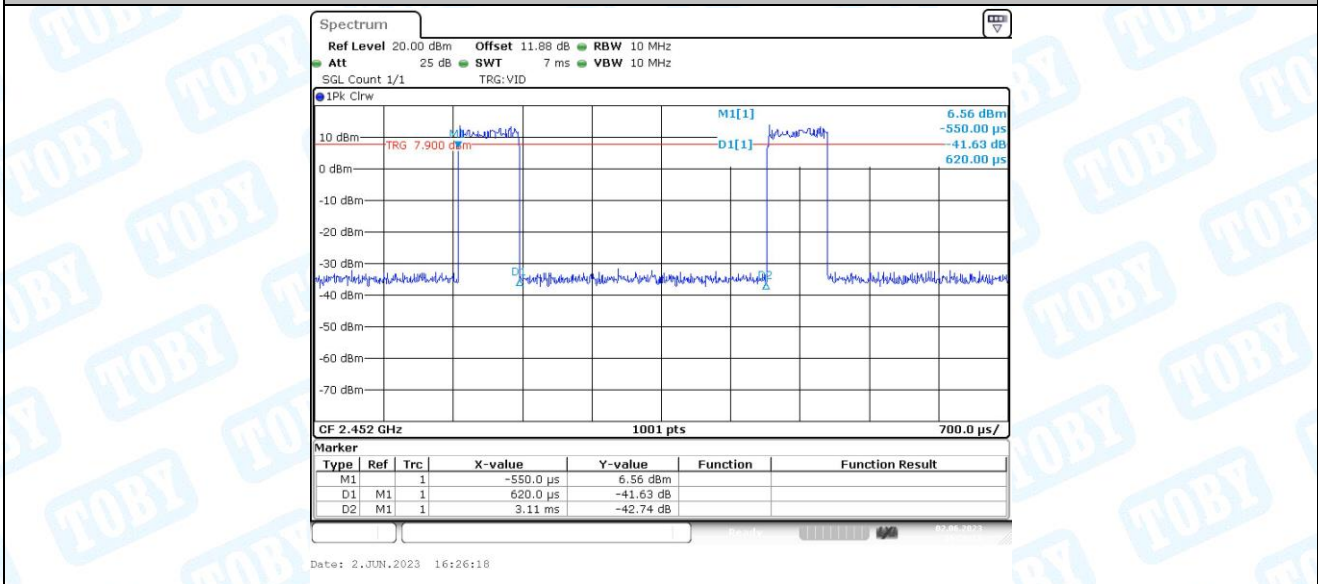
11AX40MIMO_Ant2_2422



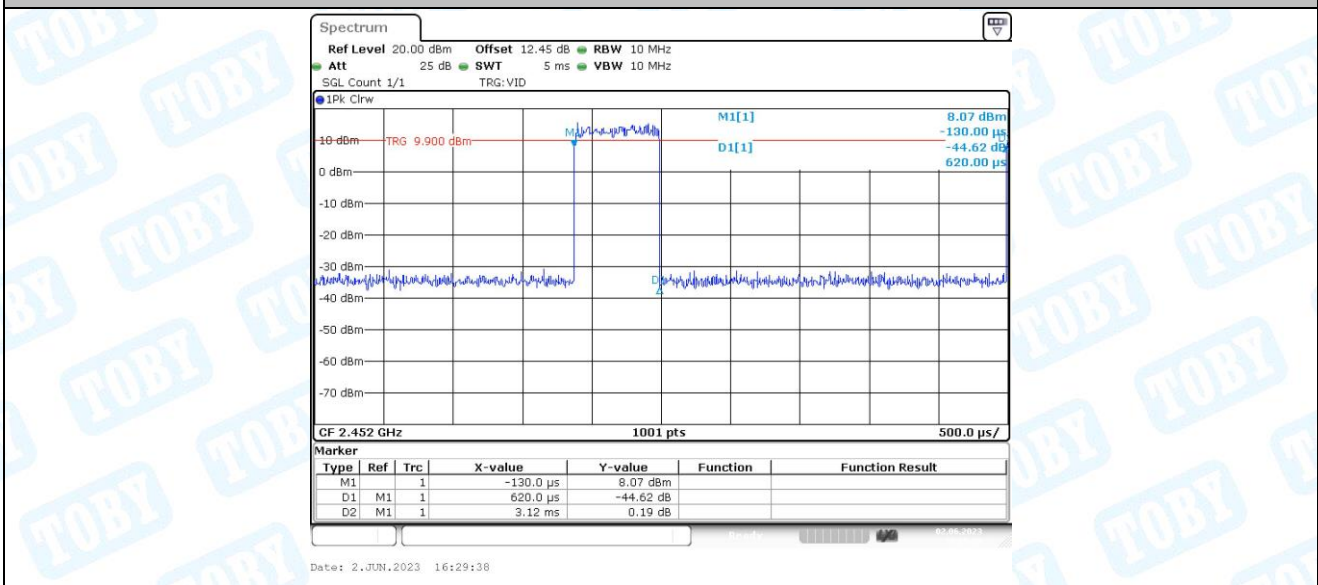
11AX40MIMO_Ant1_2437



11AX40MIMO_Ant2_2437



11AX40MIMO_Ant1_2452



11AX40MIMO_Ant2_2452

8. Emissions in Restricted Bands

8.1. Test Result

TestMode	Antenna	ChName	Channel	Detector	Freq [MHz]	Result [dBm]	Limit [dBm]	Verdict
11B-CDD	Ant1	Low	2412	AV	2310.000	-46.46	≤-41.20	PASS
				AV	2339.565	-44.18	≤-41.20	PASS
				AV	2390.000	-45.46	≤-41.20	PASS
				Peak	2310.000	-33.7	≤-21.20	PASS
				Peak	2341.826	-33.12	≤-21.20	PASS
				Peak	2390.000	-35.09	≤-21.20	PASS
	Ant2	Low	2412	AV	2310.000	-50.15	≤-41.20	PASS
				AV	2340.507	-47.82	≤-41.20	PASS
				AV	2390.000	-49.15	≤-41.20	PASS
				Peak	2310.000	-38.89	≤-21.20	PASS
				Peak	2340.130	-36.24	≤-21.20	PASS
				Peak	2390.000	-38.19	≤-21.20	PASS
	total	Low	2412	AV	2310.000	-44.91	≤-41.20	PASS
				AV	2340.507	-42.62	≤-41.20	PASS
				AV	2390.000	-43.91	≤-41.20	PASS
				Peak	2310.000	-32.55	≤-21.20	PASS
				Peak	2340.130	-31.40	≤-21.20	PASS
				Peak	2390.000	-33.36	≤-21.20	PASS
	Ant1	High	2462	AV	2483.500	-48.23	≤-41.20	PASS
				AV	2486.710	-48.05	≤-41.20	PASS
				AV	2500.000	-49.52	≤-41.20	PASS
				Peak	2483.500	-37.97	≤-21.20	PASS
				Peak	2487.667	-36.36	≤-21.20	PASS
				Peak	2500.000	-38.97	≤-21.20	PASS
Ant2		High	2462	AV	2483.500	-47.57	≤-41.20	PASS
				AV	2483.522	-47.57	≤-41.20	PASS
				AV	2500.000	-49.06	≤-41.20	PASS
				Peak	2483.500	-36.44	≤-21.20	PASS
				Peak	2483.522	-36.44	≤-21.20	PASS
				Peak	2500.000	-37.97	≤-21.20	PASS
total	High	2462	AV	2483.500	-44.88	≤-41.20	PASS	
			AV	2483.522	-44.79	≤-41.20	PASS	
			AV	2500.000	-46.27	≤-41.20	PASS	
			Peak	2483.500	-34.13	≤-21.20	PASS	
			Peak	2483.522	-33.39	≤-21.20	PASS	
			Peak	2500.000	-35.43	≤-21.20	PASS	
11G-CDD	Ant1	Low	2412	AV	2310.000	-49.9	≤-41.20	PASS
				AV	2340.319	-47.73	≤-41.20	PASS
				AV	2390.000	-48.71	≤-41.20	PASS
				Peak	2310.000	-39.93	≤-21.20	PASS

				Peak	2366.130	-35.93	≤-21.20	PASS
				Peak	2390.000	-38.85	≤-21.20	PASS
	Ant2	Low	2412	AV	2310.000	-49.36	≤-41.20	PASS
				AV	2340.130	-47.45	≤-41.20	PASS
				AV	2390.000	-48.06	≤-41.20	PASS
				Peak	2310.000	-38.22	≤-21.20	PASS
				Peak	2387.986	-34.01	≤-21.20	PASS
				Peak	2390.000	-36.37	≤-21.20	PASS
	total	Low	2412	AV	2310.000	-46.61	≤-41.20	PASS
				AV	2340.130	-44.58	≤-41.20	PASS
				AV	2390.000	-45.36	≤-41.20	PASS
				Peak	2310.000	-35.98	≤-21.20	PASS
				Peak	2387.986	-31.85	≤-21.20	PASS
				Peak	2390.000	-34.43	≤-21.20	PASS
	Ant1	High	2462	AV	2483.500	-46.18	≤-41.20	PASS
				AV	2483.681	-46.14	≤-41.20	PASS
				AV	2500.000	-48.4	≤-41.20	PASS
				Peak	2483.500	-35	≤-21.20	PASS
				Peak	2483.522	-35	≤-21.20	PASS
				Peak	2500.000	-37.18	≤-21.20	PASS
	Ant2	High	2462	AV	2483.500	-46.92	≤-41.20	PASS
				AV	2483.522	-46.92	≤-41.20	PASS
				AV	2500.000	-48.42	≤-41.20	PASS
				Peak	2483.500	-36.83	≤-21.20	PASS
Peak				2485.116	-35.45	≤-21.20	PASS	
Peak				2500.000	-37.87	≤-21.20	PASS	
total	High	2462	AV	2483.500	-43.52	≤-41.20	PASS	
			AV	2483.522	-43.50	≤-41.20	PASS	
			AV	2500.000	-45.40	≤-41.20	PASS	
			Peak	2483.500	-32.81	≤-21.20	PASS	
			Peak	2485.116	-32.21	≤-21.20	PASS	
			Peak	2500.000	-34.50	≤-21.20	PASS	
11N20MIM O	Ant1	Low	2412	AV	2310.000	-50.32	≤-41.20	PASS
				AV	2340.319	-47.7	≤-41.20	PASS
				AV	2390.000	-48.39	≤-41.20	PASS
				Peak	2310.000	-40.25	≤-21.20	PASS
				Peak	2380.638	-36.44	≤-21.20	PASS
				Peak	2390.000	-39.28	≤-21.20	PASS
	Ant2	Low	2412	AV	2310.000	-49.5	≤-41.20	PASS
				AV	2340.884	-47.08	≤-41.20	PASS
				AV	2390.000	-47.93	≤-41.20	PASS
				Peak	2310.000	-39.1	≤-21.20	PASS
				Peak	2340.884	-35.73	≤-21.20	PASS
				Peak	2390.000	-37.91	≤-21.20	PASS
	total	Low	2412	AV	2310.000	-46.88	≤-41.20	PASS

11N40MIM O				AV	2340.884	-44.37	≤-41.20	PASS
				AV	2390.000	-45.14	≤-41.20	PASS
				Peak	2310.000	-36.63	≤-21.20	PASS
				Peak	2340.884	-33.06	≤-21.20	PASS
				Peak	2390.000	-35.53	≤-21.20	PASS
	Ant1	High	2462	AV	2483.500	-45.23	≤-41.20	PASS
				AV	2483.681	-45.22	≤-41.20	PASS
				AV	2500.000	-48.57	≤-41.20	PASS
				Peak	2483.500	-31.14	≤-21.20	PASS
				Peak	2483.522	-31.14	≤-21.20	PASS
	Ant2	High	2462	AV	2483.500	-46.92	≤-41.20	PASS
				AV	2483.522	-46.92	≤-41.20	PASS
				AV	2500.000	-48.37	≤-41.20	PASS
				Peak	2483.500	-35.58	≤-21.20	PASS
				Peak	2489.739	-35.31	≤-21.20	PASS
	total	High	2462	AV	2483.500	-42.98	≤-41.20	PASS
				AV	2483.522	-42.98	≤-41.20	PASS
				AV	2500.000	-45.46	≤-41.20	PASS
				Peak	2483.500	-29.81	≤-21.20	PASS
				Peak	2489.739	-29.73	≤-21.20	PASS
	Ant1	Low	2422	AV	2310.000	-49.81	≤-41.20	PASS
AV				2340.130	-47.55	≤-41.20	PASS	
AV				2390.000	-48.02	≤-41.20	PASS	
Peak				2310.000	-39.78	≤-21.20	PASS	
Peak				2340.130	-36.04	≤-21.20	PASS	
Ant2		Low	2422	AV	2310.000	-49.32	≤-41.20	PASS
				AV	2388.739	-46.29	≤-41.20	PASS
				AV	2390.000	-46.19	≤-41.20	PASS
				Peak	2310.000	-37.94	≤-21.20	PASS
				Peak	2389.870	-33.98	≤-21.20	PASS
total		Low	2422	AV	2310.000	-46.55	≤-41.20	PASS
				AV	2388.739	-43.86	≤-41.20	PASS
				AV	2390.000	-44.00	≤-41.20	PASS
				Peak	2310.000	-35.75	≤-21.20	PASS
				Peak	2389.870	-31.88	≤-21.20	PASS
Ant1	High	2452	AV	2483.500	-44.07	≤-41.20	PASS	
			AV	2483.522	-44.07	≤-41.20	PASS	
			AV	2500.000	-48.15	≤-41.20	PASS	
			Peak	2483.500	-31.64	≤-21.20	PASS	

11AX20MI MO	Ant2	High	2452	Peak	2486.551	-29.85	≤-21.20	PASS
				Peak	2500.000	-39.03	≤-21.20	PASS
				AV	2483.500	-45.58	≤-41.20	PASS
				AV	2483.522	-45.58	≤-41.20	PASS
				AV	2500.000	-48.24	≤-41.20	PASS
				Peak	2483.500	-34.97	≤-21.20	PASS
				Peak	2483.841	-34.22	≤-21.20	PASS
	total	High	2452	Peak	2500.000	-36.64	≤-21.20	PASS
				AV	2483.500	-41.75	≤-41.20	PASS
				AV	2483.522	-41.75	≤-41.20	PASS
				AV	2500.000	-45.18	≤-41.20	PASS
				Peak	2483.500	-29.98	≤-21.20	PASS
				Peak	2483.841	-28.50	≤-21.20	PASS
	Ant1	Low	2412	AV	2310.000	-50.14	≤-41.20	PASS
AV				2340.319	-47.84	≤-41.20	PASS	
AV				2390.000	-48.94	≤-41.20	PASS	
Peak				2310.000	-39.09	≤-21.20	PASS	
Peak				2339.565	-35.44	≤-21.20	PASS	
Peak				2390.000	-38.29	≤-21.20	PASS	
Ant2		Low	2412	AV	2310.000	-49.68	≤-41.20	PASS
				AV	2339.754	-47.33	≤-41.20	PASS
				AV	2390.000	-48.56	≤-41.20	PASS
				Peak	2310.000	-39.08	≤-21.20	PASS
				Peak	2340.319	-35.95	≤-21.20	PASS
				Peak	2390.000	-38.35	≤-21.20	PASS
total	Low	2412	AV	2310.000	-46.89	≤-41.20	PASS	
			AV	2339.754	-44.57	≤-41.20	PASS	
			AV	2390.000	-45.74	≤-41.20	PASS	
			Peak	2310.000	-36.07	≤-21.20	PASS	
			Peak	2340.319	-32.68	≤-21.20	PASS	
			Peak	2390.000	-35.31	≤-21.20	PASS	
Ant1	High	2462	AV	2483.500	-44.71	≤-41.20	PASS	
			AV	2484.000	-44.55	≤-41.20	PASS	
			AV	2500.000	-48.65	≤-41.20	PASS	
			Peak	2483.500	-30.35	≤-21.20	PASS	
			Peak	2484.478	-28.56	≤-21.20	PASS	
			Peak	2500.000	-37.35	≤-21.20	PASS	
Ant2	High	2462	AV	2483.500	-46.79	≤-41.20	PASS	
			AV	2483.522	-46.79	≤-41.20	PASS	
			AV	2500.000	-48.59	≤-41.20	PASS	
			Peak	2483.500	-35.94	≤-21.20	PASS	
			Peak	2484.957	-33.18	≤-21.20	PASS	
			Peak	2500.000	-37.47	≤-21.20	PASS	
total	High	2462	AV	2483.500	-42.62	≤-41.20	PASS	

				AV	2483.522	-42.52	≤-41.20	PASS
				AV	2500.000	-45.61	≤-41.20	PASS
				Peak	2483.500	-29.29	≤-21.20	PASS
				Peak	2484.957	-27.27	≤-21.20	PASS
				Peak	2500.000	-34.40	≤-21.20	PASS
11AX40MI MO	Ant1	Low	2422	AV	2310.000	-49.54	≤-41.20	PASS
				AV	2340.884	-47.59	≤-41.20	PASS
				AV	2390.000	-48.89	≤-41.20	PASS
				Peak	2310.000	-39.84	≤-21.20	PASS
				Peak	2349.739	-35.97	≤-21.20	PASS
				Peak	2390.000	-40.21	≤-21.20	PASS
	Ant2	Low	2422	AV	2310.000	-49.19	≤-41.20	PASS
				AV	2340.507	-46.66	≤-41.20	PASS
				AV	2390.000	-46.76	≤-41.20	PASS
				Peak	2310.000	-39.83	≤-21.20	PASS
				Peak	2341.638	-34.64	≤-21.20	PASS
				Peak	2390.000	-37.78	≤-21.20	PASS
	total	Low	2422	AV	2310.000	-46.35	≤-41.20	PASS
				AV	2340.507	-44.09	≤-41.20	PASS
				AV	2390.000	-44.69	≤-41.20	PASS
				Peak	2310.000	-36.82	≤-21.20	PASS
				Peak	2341.638	-32.24	≤-21.20	PASS
				Peak	2390.000	-35.82	≤-21.20	PASS
	Ant1	High	2452	AV	2483.500	-44.52	≤-41.20	PASS
				AV	2483.681	-44.52	≤-41.20	PASS
				AV	2500.000	-47.74	≤-41.20	PASS
				Peak	2483.500	-31.57	≤-21.20	PASS
				Peak	2490.217	-27.84	≤-21.20	PASS
				Peak	2500.000	-37.71	≤-21.20	PASS
Ant2	High	2452	AV	2483.500	-44.99	≤-41.20	PASS	
			AV	2483.522	-44.99	≤-41.20	PASS	
			AV	2500.000	-48.42	≤-41.20	PASS	
			Peak	2483.500	-34.36	≤-21.20	PASS	
			Peak	2483.522	-34.36	≤-21.20	PASS	
			Peak	2500.000	-38.53	≤-21.20	PASS	
total	High	2452	AV	2483.500	-41.74	≤-41.20	PASS	
			AV	2483.522	-41.74	≤-41.20	PASS	
			AV	2500.000	-45.06	≤-41.20	PASS	
			Peak	2483.500	-29.73	≤-21.20	PASS	
			Peak	2483.522	-26.97	≤-21.20	PASS	
			Peak	2500.000	-35.09	≤-21.20	PASS	

Note:

1. The Antenna Gain is compensated in the graph.
2. The limit in dBm for average detector is conversion from 54dBuV/m, according to 15.209(a). The limit in dBm for peak detector is 20dB above the limit of average detector in dBm.